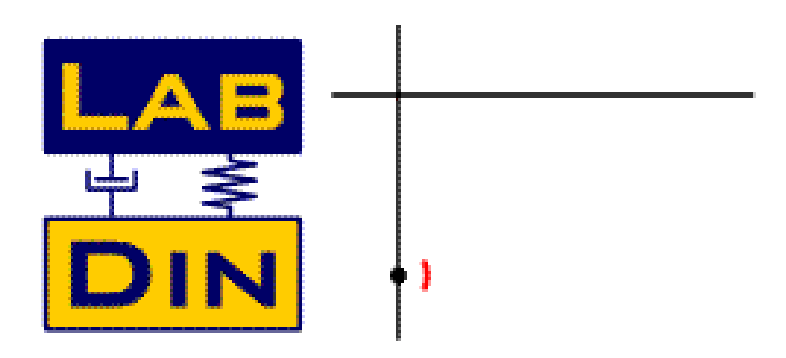
UNIVERSIDADE DE SÃO PAULO ESCOLA DE ENGENHARIA DE SÃO CARLOS DEPARTAMENTO DE ENGENHARIA MECÂNICA

Laboratório de Dinâmica

SEM 504 – DINÂMICA ESTRUTURAL

Resposta Forçada Harmônica de Sistemas 01 GDL



Resp.: Prof. Dr. Paulo S. Varoto





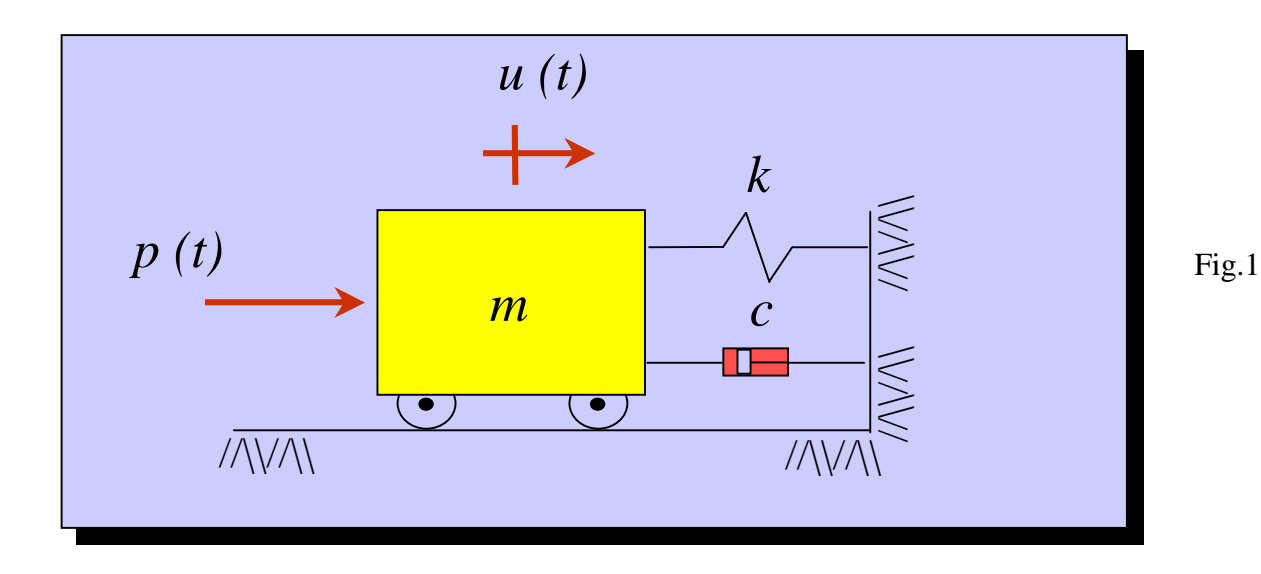
1 – OBJETIVOS

Esta aula tem os seguintes objetivos:

- Determinar a resposta forçada de sistemas de 01 GDL sem e com amortecimento à uma excitação harmônica
- Apresentar e discutir o conceito de *Função* de *Resposta* em *Freqüência* aplicado a sistemas de 01 GDL
- Discutir o problema de excitação harmônica via base apresentando o conceito de *transmissibilidade de movimento e força*
- Apresentar e discutir diferentes modelos de amortecimento e sua determinação a partir da resposta harmônica de regime permanente

1 – Modelo Matemático

Iniciaremos o estudo com o modelo de 01 GDL com amortecimento viscoso:



A equação de movimento não amortecida é dada por:

$$m\ddot{u} + ku = p(t)$$

2 – Resposta Harmônica Não Amortecida

Neste caso estamos interessados na resposta forçada do sistema à seguinte excitação

$$p(t) = p_0 \operatorname{sen} \omega t$$

Eq. 2

Onde p_0 é a amplitude da força excitadora e ω sua freqüência em rad.s⁻¹. Desta forma

$$m\ddot{u} + ku = p_0 \operatorname{sen} \omega t$$

Eq. 3

E também: $u_0 = 0$ $\dot{u}_0 = 0$

A solução da Eq. 3 pode ser escrita como

$$u_p = U \operatorname{sen} \omega t$$

Eq. 4

Substituindo-se a Eq. 4 na Eq. 3 e resolvendo-se para a amplitude desconhecida *U* temos

$$U = \frac{p_0}{k - m\omega^2}$$

Dividindo-se numerador e denominador por k e usando $\omega_n = (k/m)^{1/2}$ temos

$$U = \frac{U_0}{1 - \left(\frac{\omega}{\omega_n}\right)^2}$$
 Eq. 6

Ondde U_0 representa o deslocamento estático do sistema que é dados por

$$U_0 = \frac{P_0}{k_0}$$

Eq. 7

A Eq. 6 também pode ser escrita em função da razão de frequência $r = \omega / \omega_n$

$$U = \frac{U_0}{1 - r^2}$$

Da Eq. 8 podemos definir a *Função de Resposta em Freqüência* do sistema não amortecido que é dada pela razão entre o deslocamento U e o deslocamento estático U_0

$$H(\omega) = \frac{U}{U_0}(\omega) = \frac{1}{1 - r^2}$$

Eq. 9

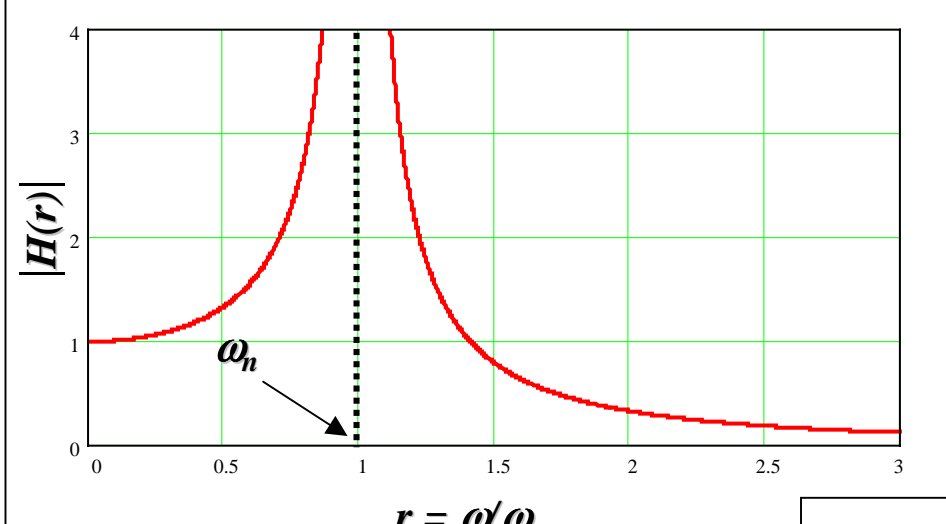
A FRF mostrada na Eq. 9 é uma grandeza adimensional pois representa a razão de dois deslocamentos. Outra forma de definir a FRF para o sistema não amortecido seria pela razão U/p_0 , ou seja usando a Eq. 5

$$H(\omega) = \frac{U}{p_0}(\omega) = \frac{1}{k - m\omega^2}$$

Eq.10

A forma da FRF mostrada na Eq. 10 exibe os parâmetros físicos de massa e rigidez do sistema e possui unidades de saída por unidades de entrada, ou seja, m/N ou in/lbf.

Esboço do gráfico do módulo da FRF $H(\omega)$



Em função de r

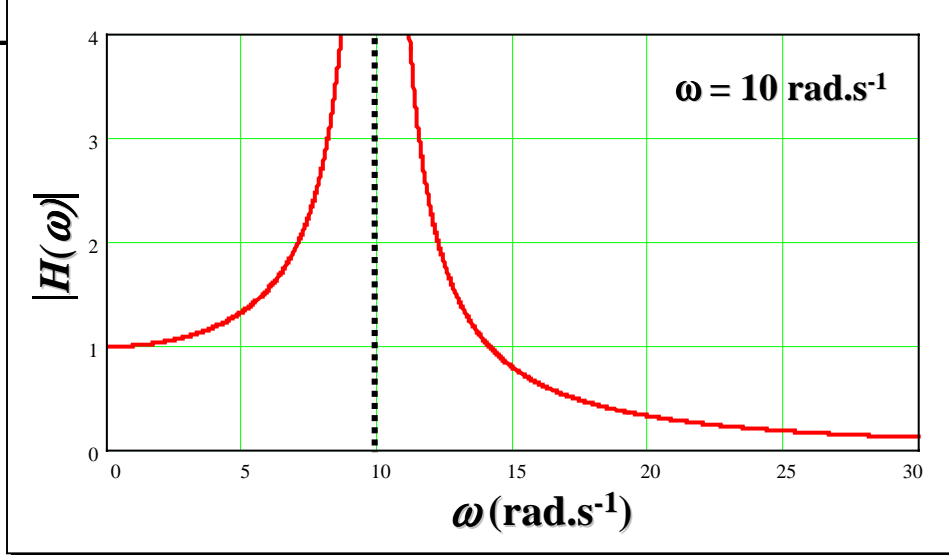
Fig.3

 $r = \omega/\omega_n$

Fig.2

Em função de 🐠







Então, a solução de regime permanente no domínio do tempo à entrada senoidal é escrita como

$$u_p = H(\omega) p_0 \operatorname{sen} \omega t$$

Eq.11

Ou ainda

$$u_p(t) = \left(\frac{1}{k - m\omega^2}\right) p_0 \operatorname{sen} \omega t$$

Eq.12

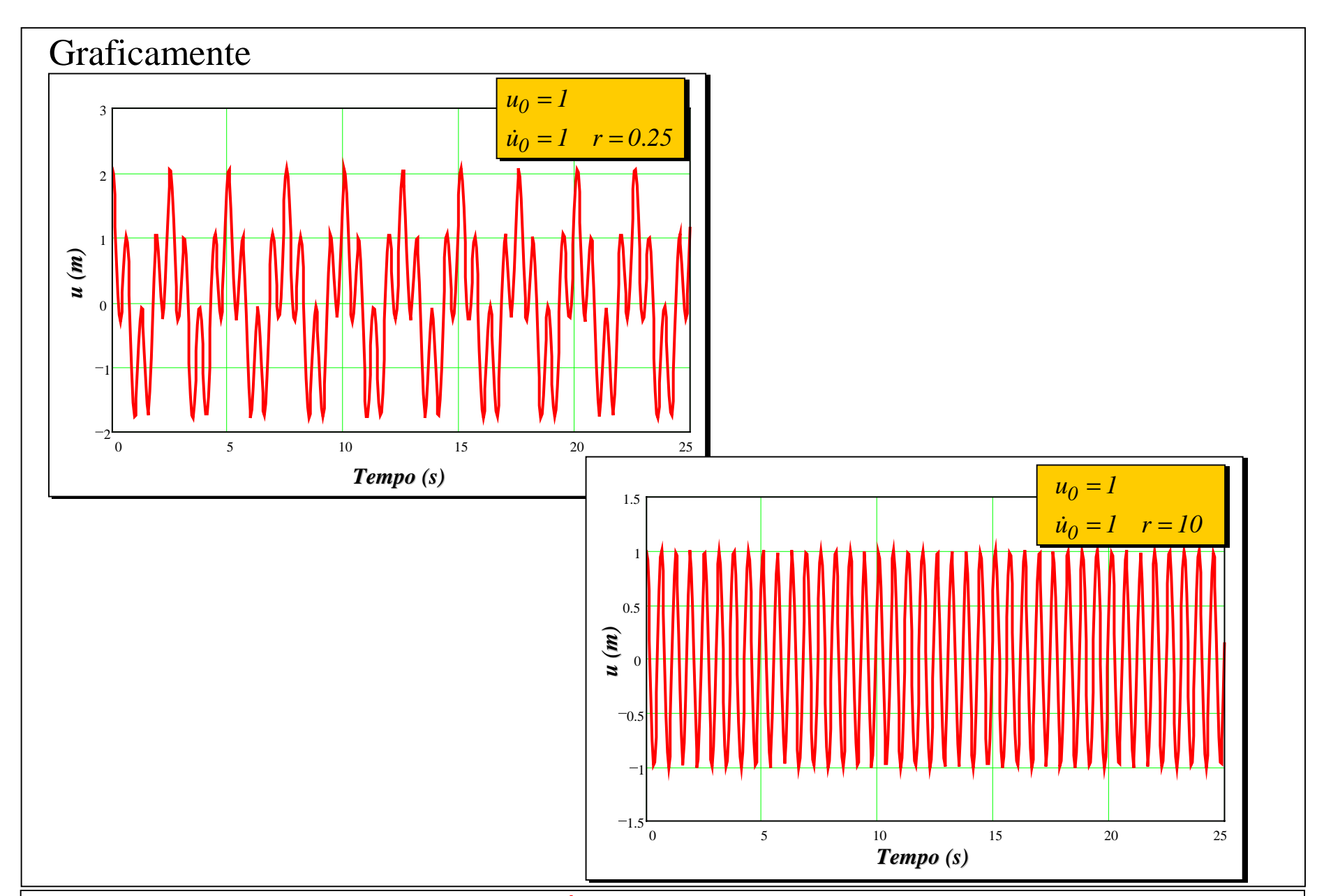
Como vimos anteriormente, a solução geral para o movimento não amortecido é a soma das soluções homogênea e particular. Assim,

$$u(t) = u_0 \cos \omega_n t + \left(\frac{\dot{u}_0}{\omega_n}\right) \sin \omega_n t + \left(\frac{1}{k - m\omega^2}\right) p_0 \sin \omega t$$

Eq.13

Transiente O sistema vibra em ω_n ! O sistema vibra em ω !

Regime







3 – Resposta Harmônica Amortecida – *Caso Viscoso*

Veremos agora a solução para o caso sub amortecido, ou seja quando $\zeta < 1$!

$$m\ddot{u} + c\dot{u} + ku = p_0 \operatorname{sen} \omega t$$

Eq.14

Que também pode ser escrita como

$$\ddot{u} + 2\varsigma\omega_n\dot{u} + {\omega_n}^2 u = \frac{p_0}{m}\operatorname{sen}\omega t$$

Eq.15

A solução particular da Eq. 15 assume agora a forma

$$u_p(t) = U_1 \cos \omega t + U_2 \sin \omega t$$

Eq.16

Neste caso a solução particular possui termos em seno e cosseno pois com a presença do amortecimento a resposta do sistema amortecido não está em fase com a excitação. Substituindo-se a Eq. 16 na Eq. 15 e separando as funções temos

$$\left[-U_1\omega^2 + U_2\omega(2\varsigma\omega_n) + U_1\omega_n^2\right]\cos\omega t + \left[-U_2\omega^2 - U_1\omega(2\varsigma\omega_n) + U_2\omega_n^2 - \frac{p_0}{m}\right]\sin\omega t = 0 \quad \text{Eq.17}$$



Para satisfazer a Eq. 17, os dois temos em parênteses devem ser zero. Logo

$$U_1(1-r^2)\omega^2 + U_2(2\varsigma r) = 0$$

Eq.18

$$U_2(1-r^2) - U_1(2\varsigma r) = \frac{p_0}{k}$$

Eq.19

Estas duas últimas equações fornecem

$$U_{I} = \frac{p_{0}}{k} \left(\frac{-2\varsigma r}{(1 - r^{2})^{2} + (2\varsigma r)^{2}} \right)$$

Eq.20

$$U_2 = \frac{p_0}{k} \left(\frac{1 - r^2}{(1 - r^2)^2 + (2\varsigma r)^2} \right)$$

Eq.21

Introduzindo agora as Eqs. 20 e 21 na Eq. 16 temos

$$u_p(t) = \frac{p_0}{k} \left(\frac{1}{(1-r^2)^2 + (2\varsigma r)^2} \right) \left((1-r^2) \operatorname{sen} \omega t - 2\varsigma r \cos \omega t \right)$$

Eq. 22

De forma análoga ao caso não amortecido, a FRF do sistema de 01 com amortecimento subcrítico viscoso é dada por

$$H(\omega) = \frac{1/k}{(1-r^2)^2 + (2\varsigma r)^2}$$

Eq. 23

E a solução de regime permanente pode ser reescrita como

$$u_p(t) = p_0 H(\omega) \left((1 - r^2) \operatorname{sen} \omega t - 2\varsigma r \cos \omega t \right)$$

Gráficos de H(w)

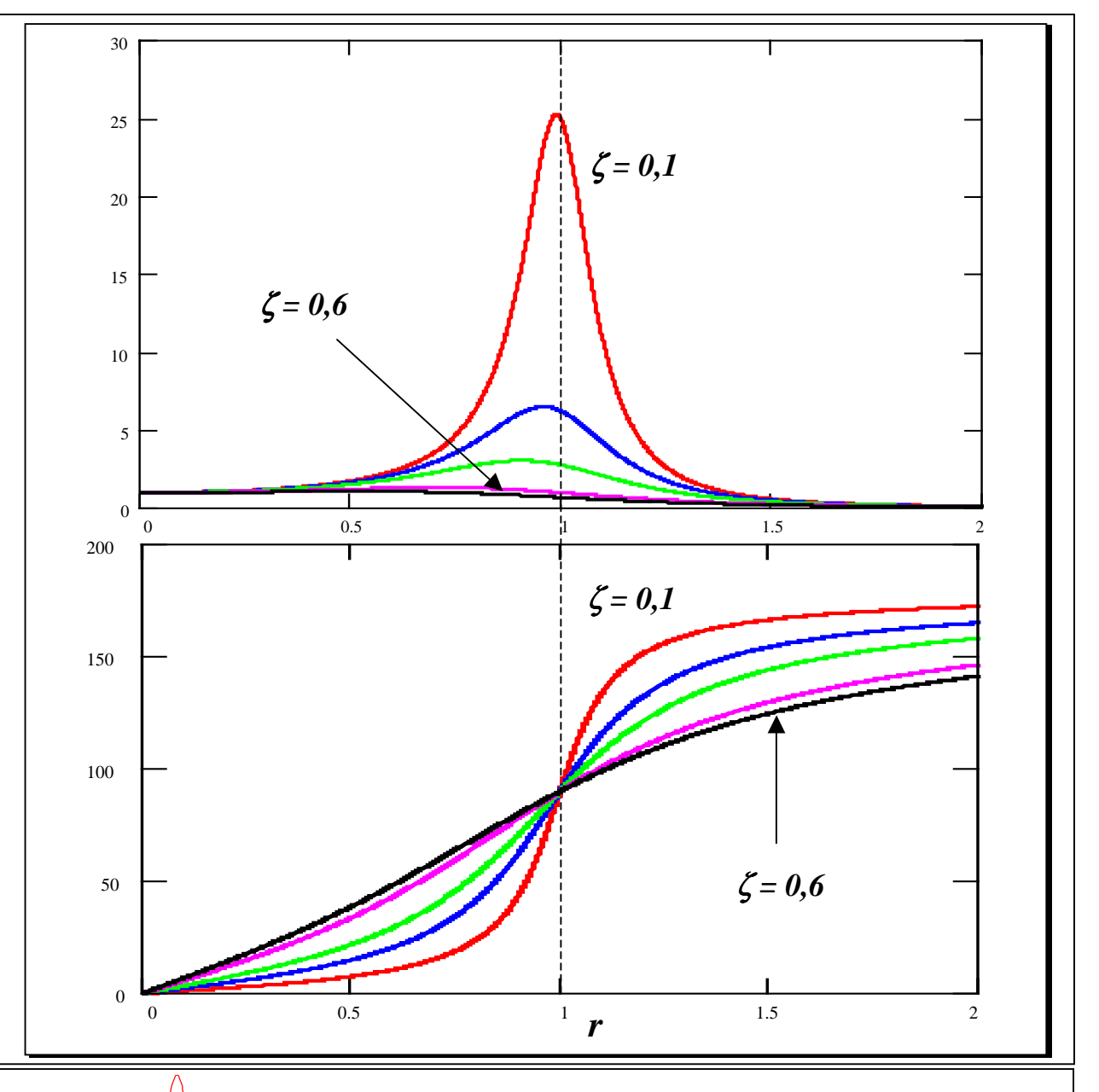
Magnitude

$$H(\omega) = \frac{1/k}{(1-r^2)^2 + (2\varsigma r)^2}$$

Ângulo de Fase

$$\tan \alpha = \frac{2\varsigma r}{1 - r^2}$$

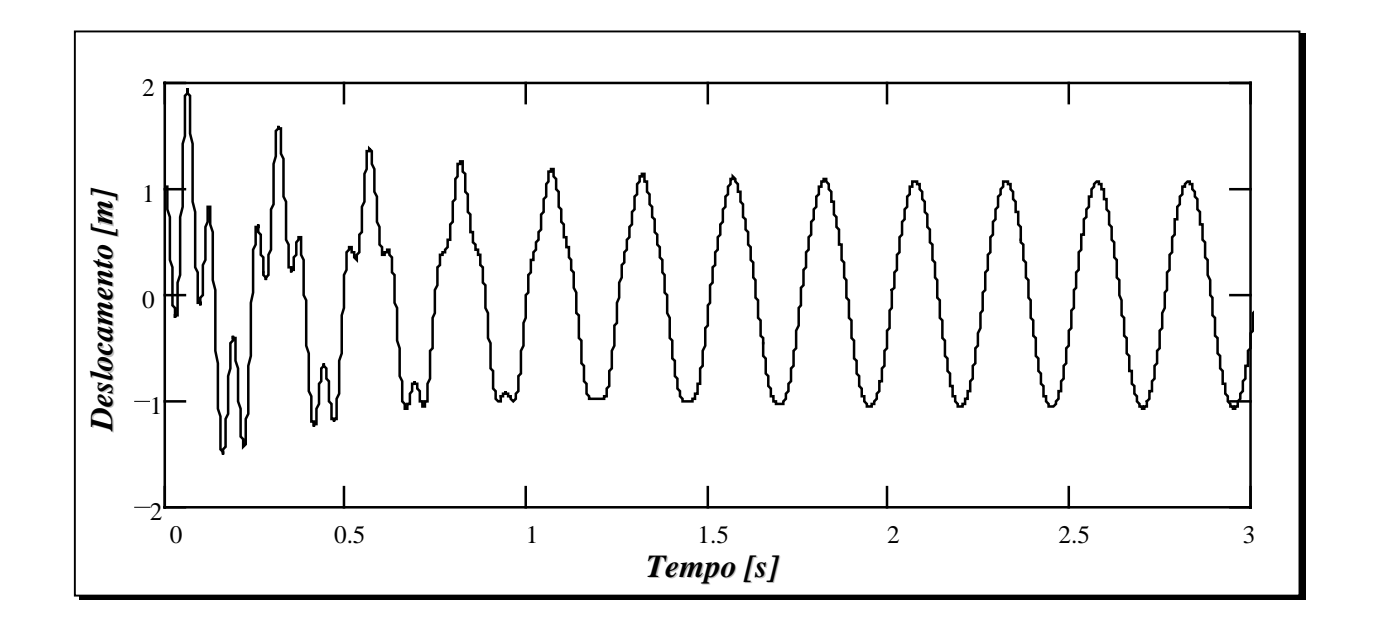
Mais comentários adiante!





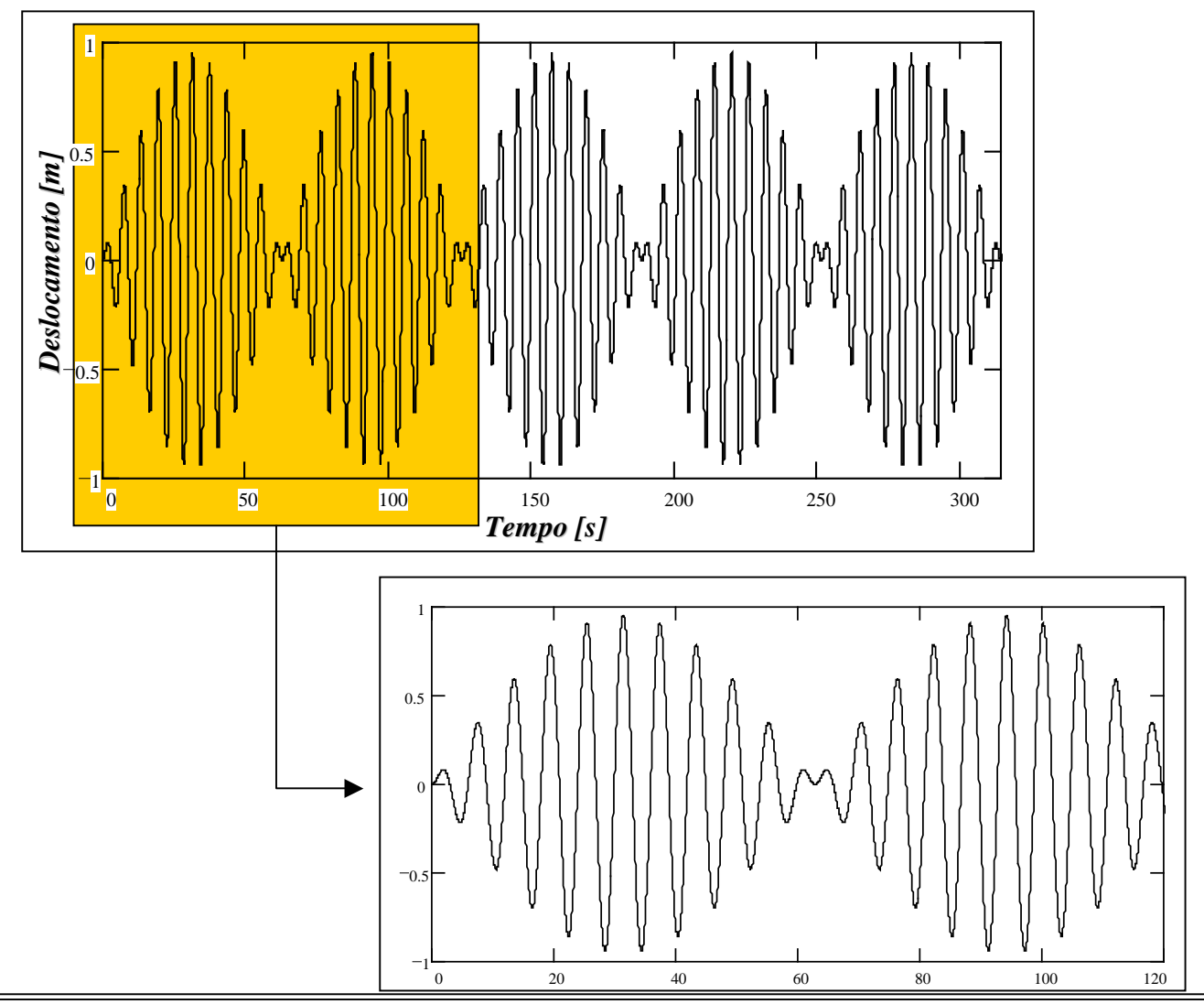
A resposta total do sistema de 01 GDL é dada pela soma das parcelas transiente e permanente, ou seja

$$u(t) = e^{-\varsigma \omega_n t} \left[u_0 \cos \omega_d t + \left(\frac{\dot{u}_0 + \varsigma \omega_n u_0}{\omega_d} \right) \sin \omega_d t \right] + p_0 H(\omega) \left((1 - r^2) \sin \omega t - 2\varsigma r \cos \omega t \right)$$



Fenômeno interessante: Batimento

Ocorre quando $\omega \cong \omega_d$ na Eq. 25





4 – Resposta Ressonante

A condição de ressonância é atingida quando a frequência de excitação iguala-se à frequência natural do sistema, ou seja,

$$|H(\omega)|_{r=1} = \frac{1}{2\varsigma}$$

Eq. 26

O valor de *r* para o qual a FRF atinge seu valor máximo (*valor de pico*) é obtido a partir de

$$r_{pico} = \frac{\partial}{\partial r} (H(\omega)) = 0$$

Eq. 27

Esta derivada fornece

$$r_{pico} = \sqrt{1 - 2\varsigma^2} \qquad r_{pico} \neq 1!$$

E

$$|H(\omega)|_{\text{max}} = \frac{1}{2\varsigma\sqrt{1-\varsigma^2}} = \frac{1}{2\varsigma}\frac{\omega_n}{\omega_d}$$

Para uma melhor compreensão do fenômeno da ressonância, retomemos a solução geral do sistema amortecido, Eq. 25

$$u(t) = e^{-\varsigma \omega_n t} \left[A \cos \omega_d t + B \sin \omega_d t \right] + p_0 H(\omega) \left((1 - r^2) \sin \omega t - 2\varsigma r \cos \omega t \right)$$
 Eq. 29

Se assumirmos *condições iniciais nulas* na Eq. 29 e r = 1 temos

$$u(t) = \frac{1}{2\varsigma} \frac{p_0}{k} \left(e^{-\varsigma \omega_n t} \left(\frac{\varsigma}{\sqrt{1-\varsigma^2}} \sin \omega_d t + \cos \omega_d t \right) - \cos \omega_n t \right)$$
 Eq. 30

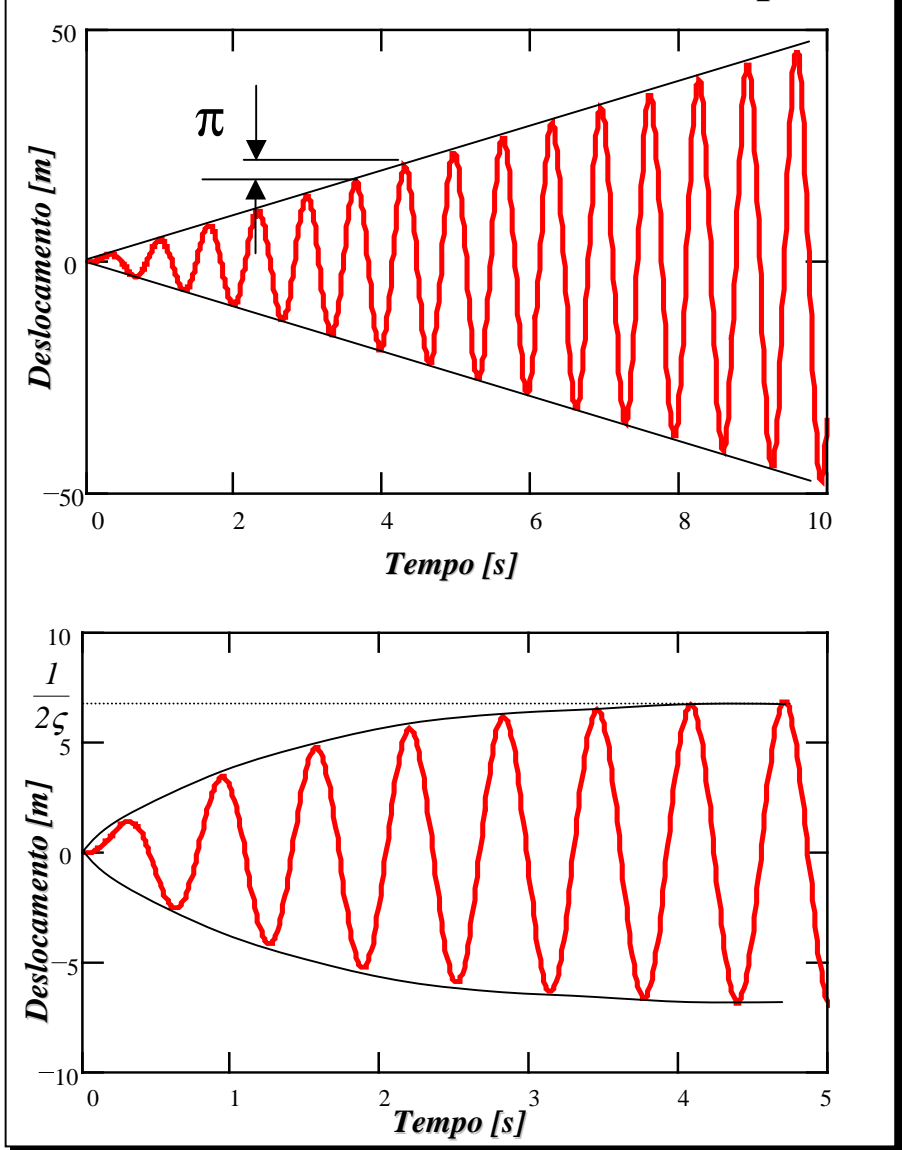
Ou aproximadamente

$$u_{ap}(t) = \frac{u(t)}{p_0/k} \cong \frac{1}{2\varsigma} \left\{ \left[e^{-\varsigma \omega_n t} - I \right] \cos \omega_n t + \varsigma \left[e^{-\varsigma \omega_n t} \right] \sin \omega_n t \right\}$$
 Eq. 31

E para $\zeta = 0$

$$u_{ap}(t) \cong \frac{1}{2} (\operatorname{sen} \omega_n t - \omega_n t \cos \omega_n t)$$

Graficamente, podemos ver o resultado das últimas expressões



Não Amortecido

Eq. 32

Amortecido





5 – Resposta em Freqüência Complexa

Estudaremos a resposta harmônica considerando outro modelo para a excitação

$$p(t) = p_0 e^{j\omega t}$$

Eq. 33

Então temos

$$m\ddot{u} + c\dot{u} + ku = p_0 e^{j\omega t}$$

Eq. 34

Baseado na hipótese de linearidade do sistema, assumimos uma solução da forma

$$u(t) = Ue^{j\omega t}$$

Eq. 35

A qual quando substituída na Eq. 34 fornece a solução para a amplitude U_0

$$U = \frac{p_0}{k - m\omega^2 + jc\omega}$$

A Eq. 36 também pode ser escrita em função dos parâmetros ζ e ω_n

$$U = \frac{p_0/k}{1 - \left(\frac{\omega}{\omega_n}\right)^2 + j2\varsigma\left(\frac{\omega}{\omega_n}\right)}$$

Eq. 37

Ou também

$$U = \frac{p_0 / k}{1 - r^2 + j2\varsigma r}$$

Eq. 38

De onde extraímos a FRF do sistema

$$H(\omega) = \frac{U}{U_0}(\omega) = \frac{1}{1 - r^2 + j2\varsigma r}$$

A última expressão também pode ser expressa em termos dos parâmetros físicos do sistema

$$H(\omega) = \frac{1}{k - m\omega^2 + jc\omega} = \frac{N(\omega)}{D(\omega)}$$

Eq. 40

Ao contrário do caso anterior, a FRF agora representa um quociente de dois polinômios complexos, sendo eles $N(\omega)$ e $D(\omega)$. Para o caso do polinômio do denominador, temos

$$D(\omega) = R(\omega) + jI(\omega)$$

Eq. 41

onde

$$D(\omega) = k - m\omega^2$$
 Sua raiz fornece ω_n !

$$I(\omega) = c\omega$$

Relacionado com o amortecimento do sistema!

Portanto, quando escrevemos a excitação do sistema na forma de uma exponencial complexa, a solução para a FRF do sistema é essencialmente a mesma, com exceção de que agora $H(\omega)$ é uma função complexa da freqüência de excitação.

$$H(\omega) = \frac{1}{k - m\omega^2 + jc\omega}$$

$$= \frac{1}{\sqrt{(k - m\omega^2)^2 + c^2\omega^2}}$$
Eq. 42

Os gráficos da FRF neste caso são idênticos aos anteriormente mostrados.

Desta forma a solução de regime permanente do sistema assume a forma

$$u_p(t) = \frac{1}{k - m\omega^2 + jc\omega} p_0 e^{j\omega t}$$

Eq. 44

Ou de forma abreviada

$$u_p(t) = H(\omega) p_0 e^{j\omega t}$$

Eq. 45

E a solução completa fica então

$$u(t) = e^{-\varsigma \omega_n t} \left[u_0 \cos \omega_d t + \left(\frac{\dot{u}_0 + \varsigma \omega_n u_0}{\omega_d} \right) \sin \omega_d t \right] + p_0 H(\omega) e^{j\omega t}$$

6 – Propriedades da FRF

Como visto antes, a resposta de regime à entrada harmônica pode ser escrita

$$u(t) = H(\omega)p_0e^{j\omega t} = |H(\omega)|p_0e^{j(\omega t - \alpha)}$$

Eq. 47

Sendo o ângulo de fase dado por

$$tg\alpha = \frac{c\omega}{k - m\omega^2} = \frac{2\varsigma r}{1 - r^2}$$
 Eq. 48

Duas outras FRF comumente usadas são as FRF de *mobilidade* e *acelerância*:

• Mobilidade: A variável de saída é a velocidade $V = j\omega U$

$$Y(\omega) = j\omega H(\omega) = \omega |H(\omega)| e^{j\alpha}$$

Eq. 49

• Acelerância: A variável de saída é a aceleração $A = (j\omega)^2 U$

$$A(\omega) = j\omega Y(\omega) = -\omega^2 H(\omega)$$

6.1 - Diagrama de Bode

É uma representação gráfica da amplitude e fase da FRF como função da frequência de excitação.

Equação da FRF:
$$H(\omega) = \frac{I}{k - m\omega^2 + jc\omega}$$

linear

logarítmica

a) Quando
$$\omega \ll \ll \omega_n$$
: $H(\omega) \approx \frac{I}{k}$

$$H(\omega) \approx \frac{1}{k}$$

$$\log\left(\frac{1}{k}\right) = -\log\left(k\right)$$

Eq. 51

Eq. 52

b) Quando
$$\omega >>> \omega_n$$
:

$$H(\omega) \approx \frac{1}{m\omega^2}$$

b) Quando
$$\omega >>> \omega_n$$
: $H(\omega) \approx \frac{1}{m\omega^2}$ $\log\left(\frac{1}{m\omega^2}\right) = -\log(m) - 2\log(\omega)$

Eq. 54

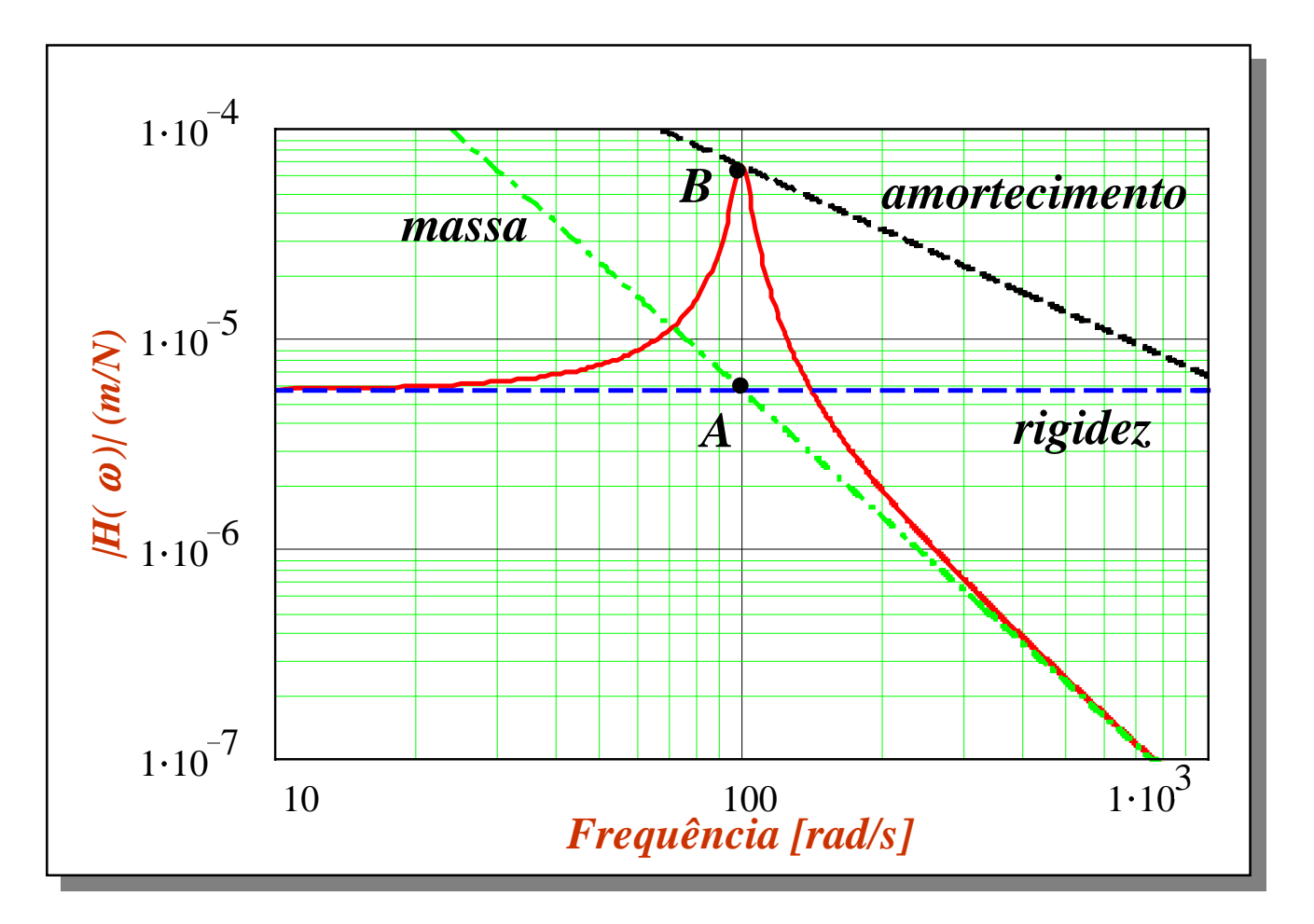
c) Quando
$$\omega = \omega_n$$
:

$$H(\omega) = \frac{I}{c\omega}$$

$$H(\omega) = \frac{1}{c\omega} \qquad \log\left(\frac{1}{c\omega}\right) = -\log(c) - \log(\omega)$$

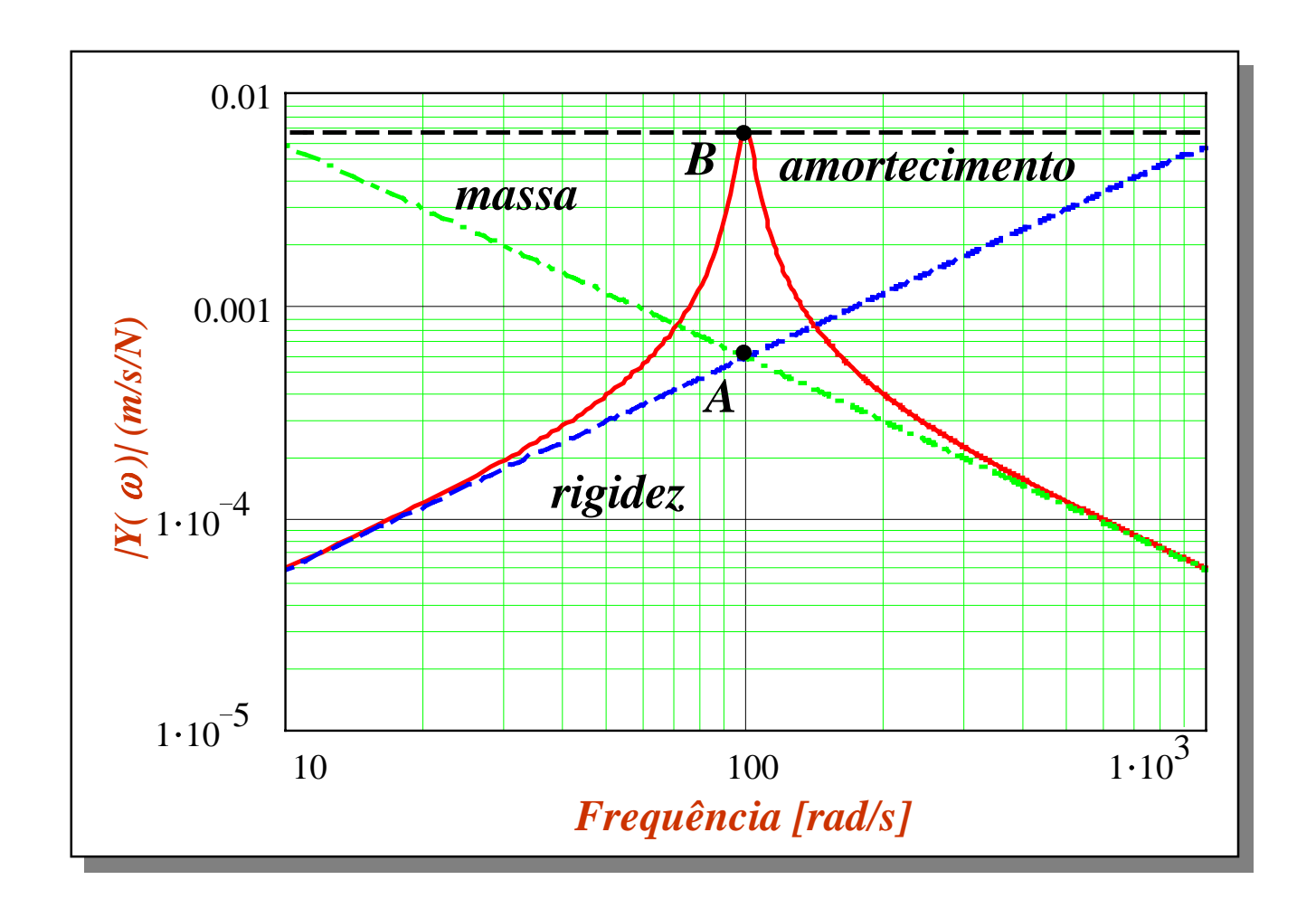
Eq. 56

Exemplo 1: 01 GDL viscoso - FRF Receptância

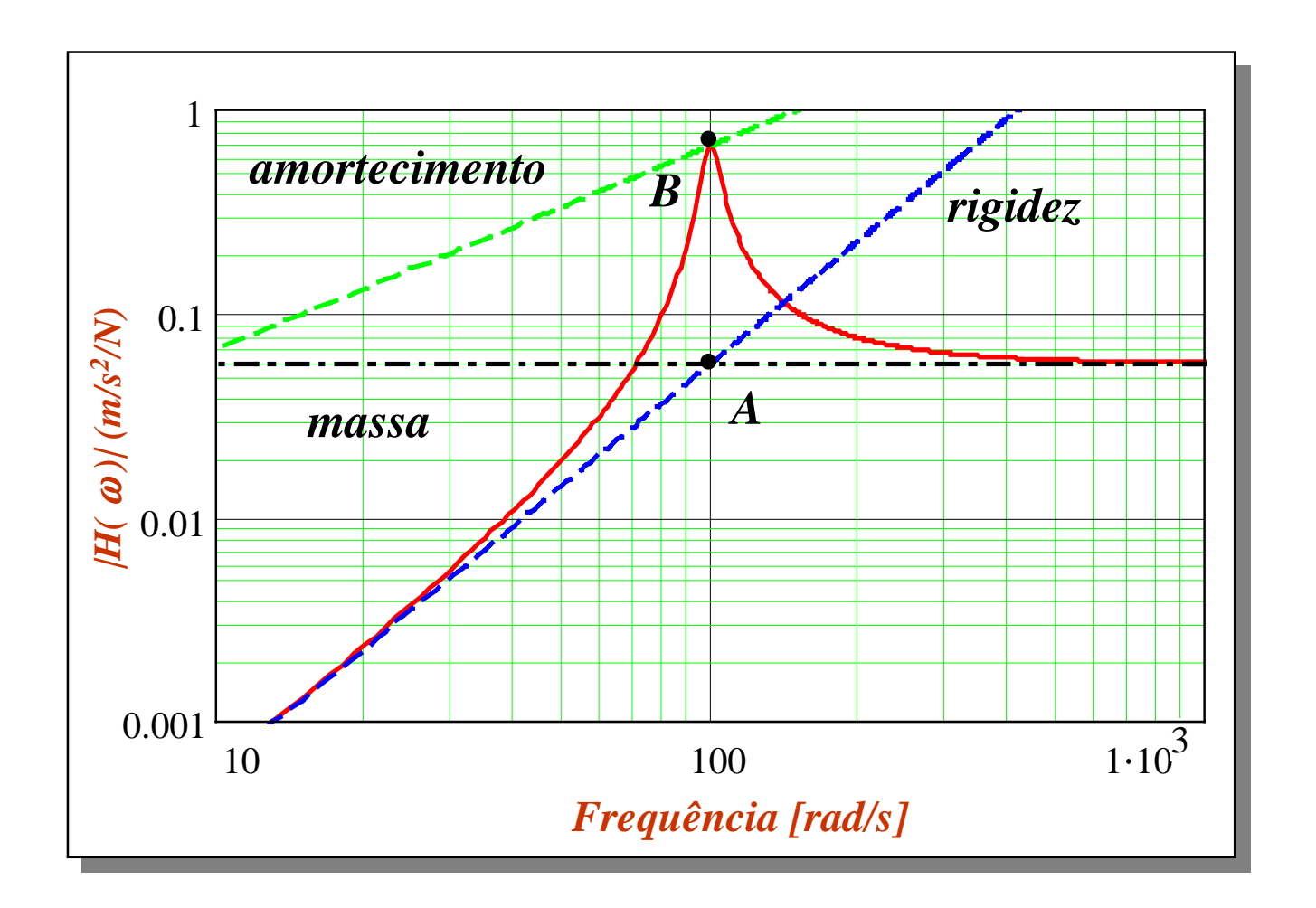




Exemplo 2: 01 GDL viscoso - FRF *Mobilidade*

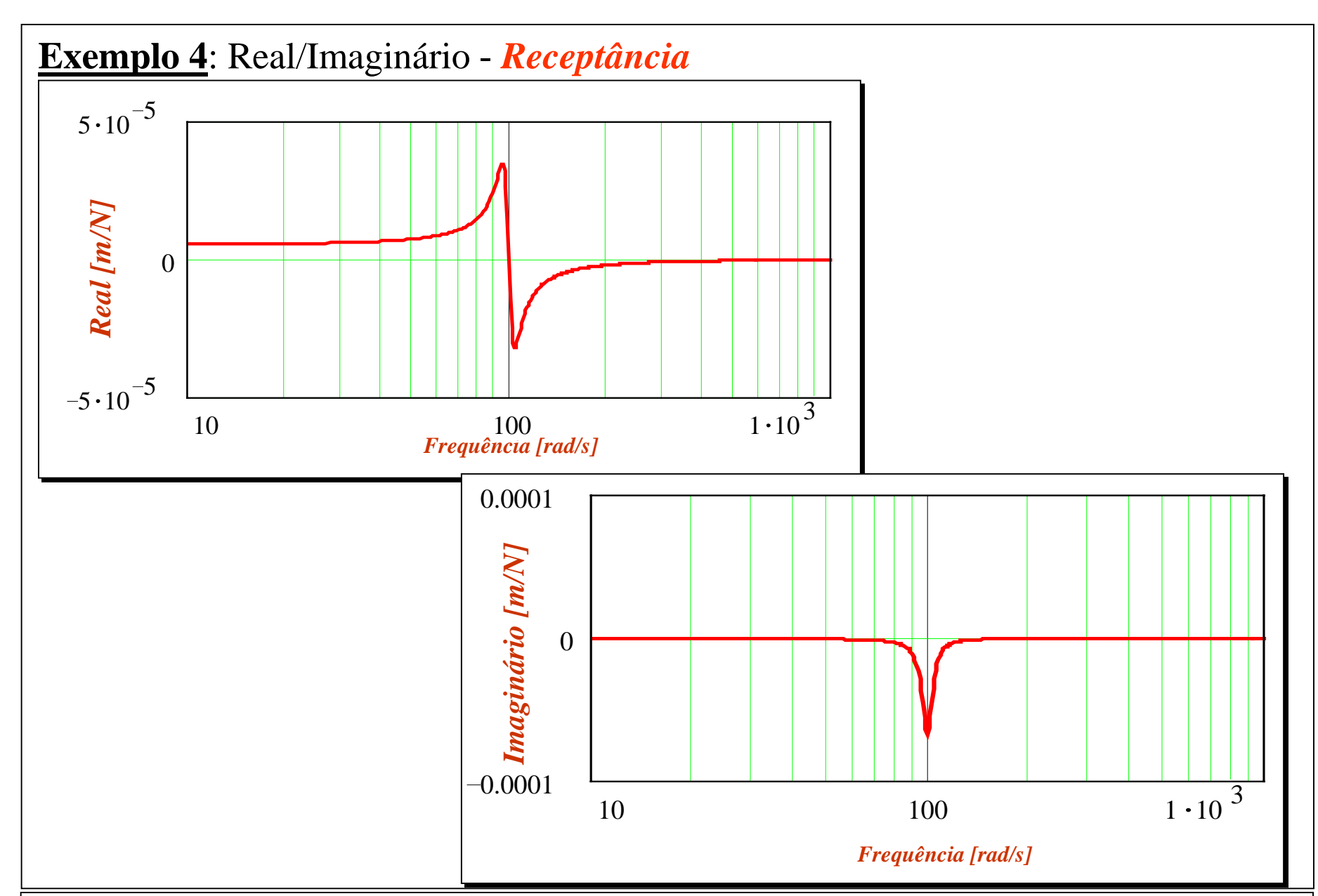


Exemplo 3: 01 GDL viscoso - FRF Acelerância







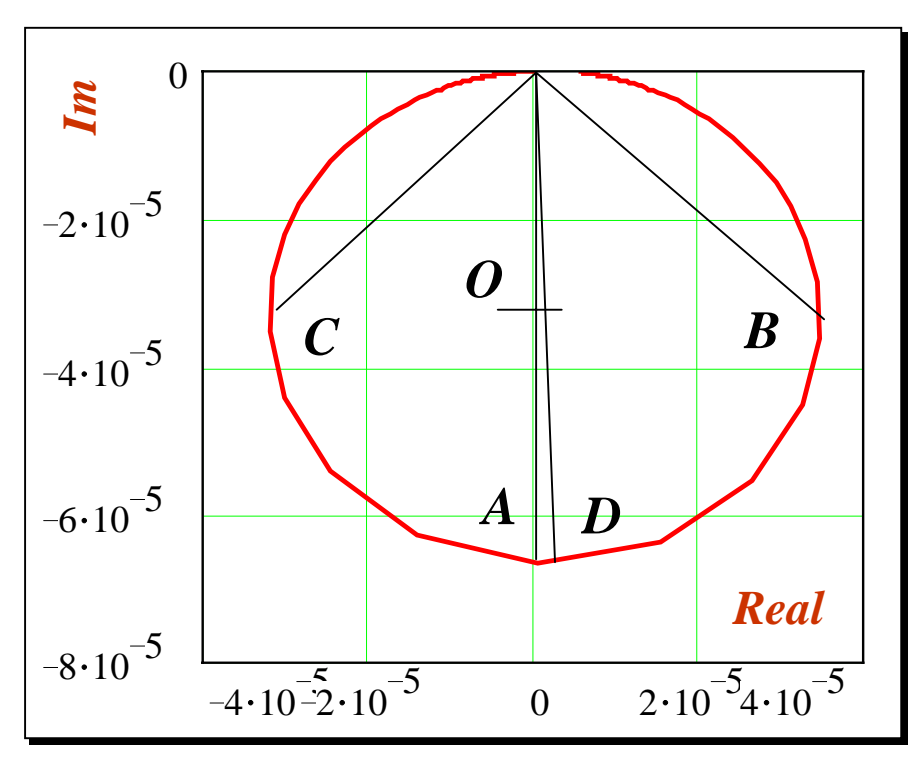




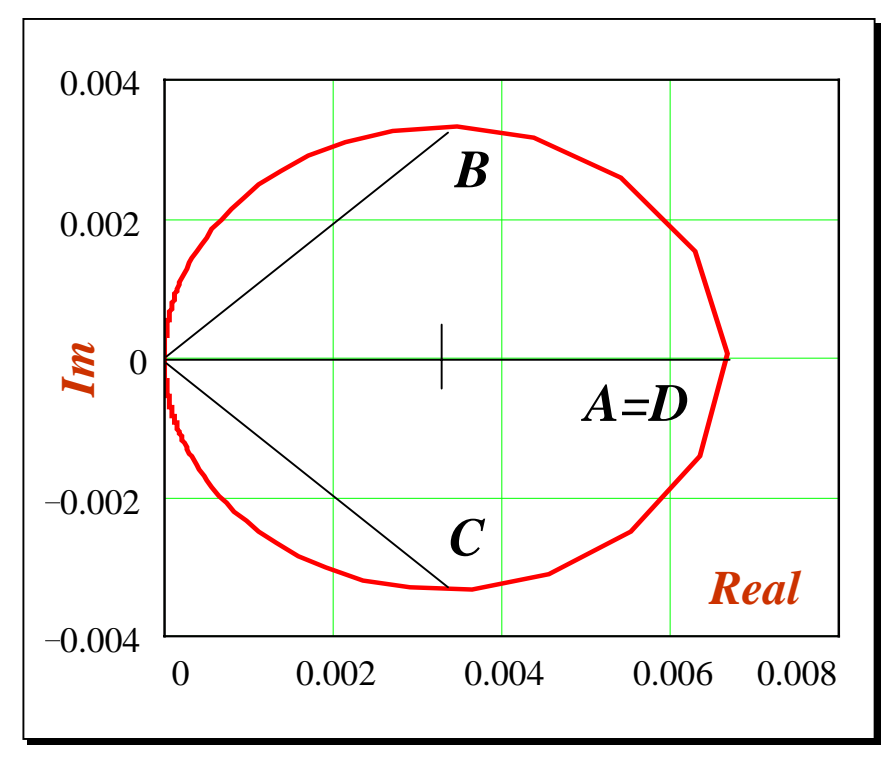


Exemplo 5: Diagrama de Nyquist - *viscoso*

Receptância



Mobilidade



7 – O Modelo de 01 GDL – Amortecimento Histerético

O modelo de amortecimento *histerético* (*estrutural*) é aquele onde a força de amortecimento é proporcional ao *deslocamento* mas em fase com a *velocidade*:

$$f_D = \varsigma k |u| \frac{\dot{u}}{|\dot{u}|}$$

Eq. 57

Logo a Equação de movimento para o sistema de 01 GDL fica

$$m\ddot{u} + \varsigma k |u| \frac{\dot{u}}{|\dot{u}|} + ku = p(t)$$

Eq. 58

Outra maneira de escrever a equação de movimento é usando o conceito de rigidez complexa

$$f_D(t) = j \eta k u(t)$$

Assim temos a nova equação de movimento para excitação harmônica

$$m\ddot{u} + k(1+j\eta)u = p_0 e^{j\omega t}$$

Eq. 60

Assumindo uma solução da forma

$$u(t) = U_0 e^{j\omega t}$$

Eq. 61

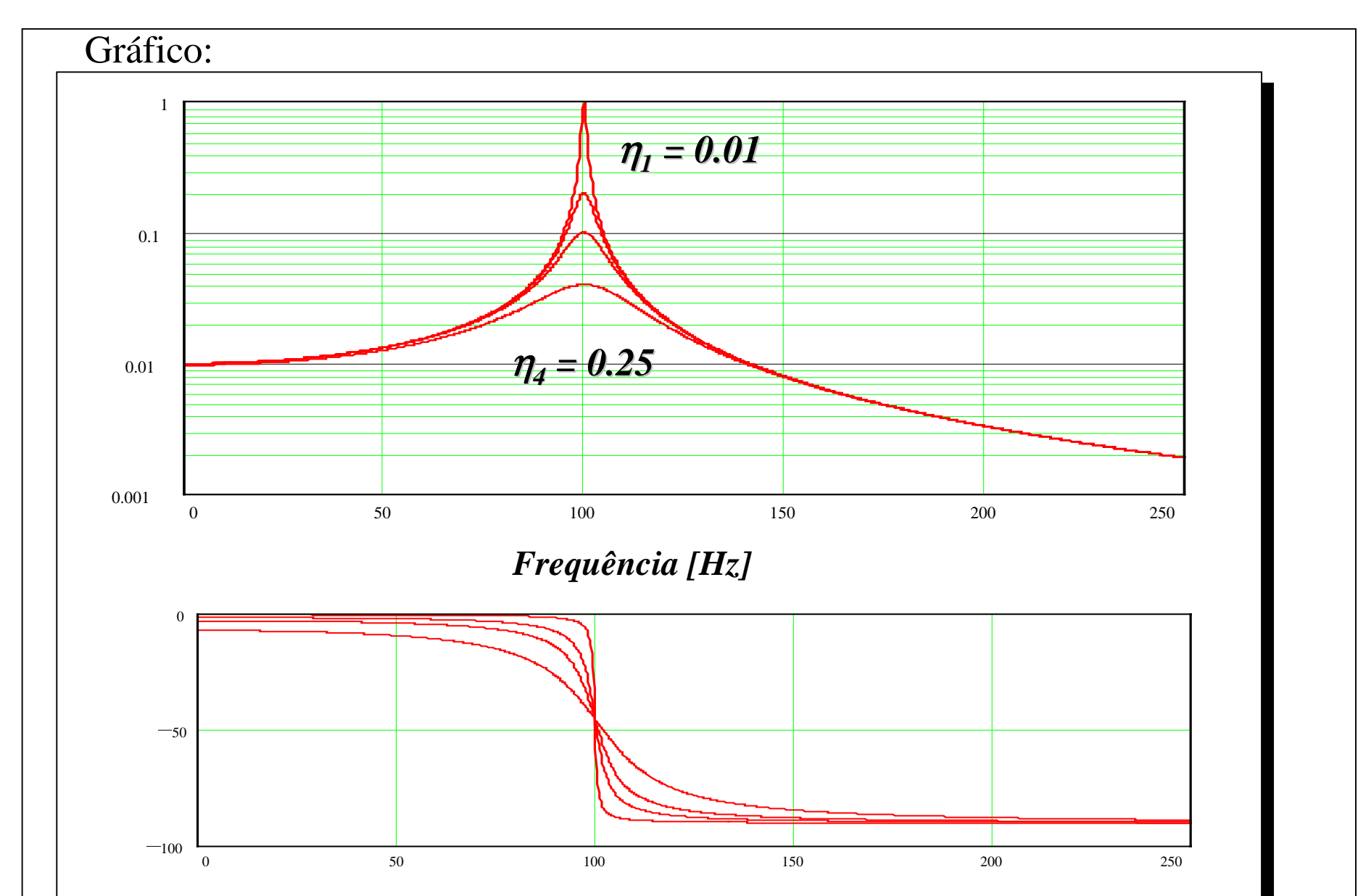
Temos como solução para a amplitude de vibração

$$U_0 = \frac{p_0}{k - m\omega^2 + jk\eta} = \frac{1/k}{1 - (\omega/\omega_n)^2 + j\eta} F_0$$

Eq. 62

E a FRF do sistema com amortecimento histerético é

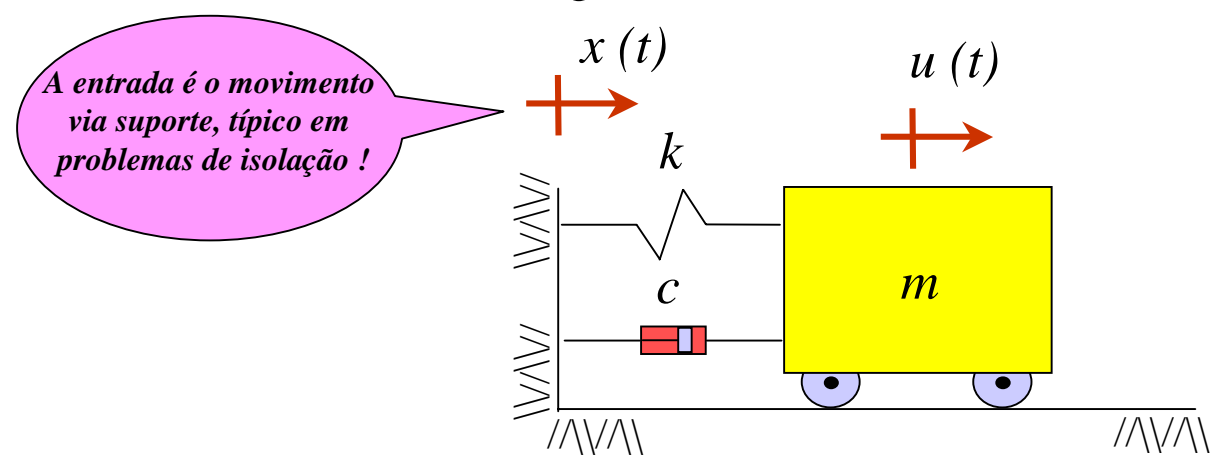
$$H(\omega) = \frac{1/k}{1 - (\omega/\omega_n)^2 + j\eta}$$
 Importante: a parte imaginária de $H(\omega)$ não depende de ω !





8 - Influência do Movimento no Suporte – *Isolação de Vibração*

Neste caso o modelo é o seguinte



E a equação de movimento é a seguinte:

$$k(x-u) + c(\dot{x} - \dot{u}) = m\ddot{u}$$

Eq. 64

Definindo agora o *deslocamento relativo* ente a base e a massa:

$$z = x - u$$

Temos então que a equação de movimento no deslocamento relativo é:

$$m\ddot{z} + c\dot{z} + kz = p_{eff}(t)$$

Eq. 66

O lado direito da Eq. 66 é o *carregamento efetivo* que é dado por:

$$p_{eff}(t) = -m\ddot{x}$$

Eq. 67

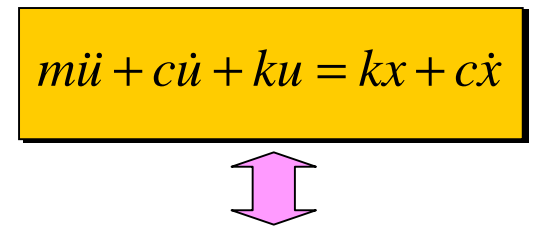
Observem que esta "força efetiva" é na verdade uma pseudo força de inércia, pois é dada pelo produto da aceleração da base pela massa m! E portanto, a massa responde à esta força como sendo a fonte de distúrbio do sistema. De forma alternativa, podemos expressar a equação de movimento, Eq. 64 em função do deslocamento absoluto da massa m. Neste caso temos:

$$m\ddot{u} + c\dot{u} + ku = kx + c\dot{x}$$

Comparando-se os dois modelos acima descritos, Eq. 66 e Eq. 68, temos:

$$m\ddot{z} + c\dot{z} + kz = p_{eff}(t)$$
 Eq. 66

- Descrita em termos do deslocamento relativo z.
- Experimentalmente requer que *x* e *u* sejam medidos e então *z* calculado!
- A excitação é dada pela pseudo força de inércia



- Descrita em termos do deslocamento absoluto *u*.
- Experimentalmente requer que apenas
 u seja medido
- A excitação é dada pela soma de parte das forças de mola e amortecedor!

Veremos em seguida a solução de ambos os modelos para entradas harmônicas. Inicialmente, consideramos o modelo descrito pela Eq. 66, definimos

$$p_{eff}(t) = -mX_0 e^{j\omega t}$$

Eq. 69

Eq. 68

Agora, substituindo-se a Eq. 69 nas Eqs. 66 e 68 e rearranjando temos





$$m\ddot{z} + c\dot{z} + kz = -m\omega^2 X_0 e^{j\omega t}$$
Eq. 70

$$m\ddot{u} + c\dot{u} + ku = (k + jc\omega)X_0e^{j\omega t}$$
Eq. 71

Assumindo agora soluções harmônicas em z e u

$$z(t) = Z_0 e^{j\omega t}$$

Eq. 72

$$u(t) = U_0 e^{j\omega t}$$

Eq. 73

Substituição das Eqs. 72 e 73 em 70 e 71 fornecem as amplitudes

$$Z_0 = \frac{-m\omega^2}{k - m\omega^2 + jc\omega} X_0$$
 Eq. 74

$$U_0 = \frac{(k + jc\omega)}{k - m\omega^2 + jc\omega} X_0$$

Eq. 75

Reparem que a equação característica nos dois modelos é a mesma!

Com base nas Eqs. 74 e 75, podemos definir a *Função de Resposta em Freqüência* de Transmissibilidade de Movimento, ou simplesmente Transmissibilidade

$$TRr(\omega) = \frac{Z_0}{X_0}(\omega) = \frac{-m\omega^2}{k - m\omega^2 + jc\omega} \bigg|_{\text{Eq. 76}} \qquad TRa(\omega) = \frac{U_0}{X_0}(\omega) = \frac{k + jc\omega}{k - m\omega^2 + jc\omega} \bigg|_{\text{Eq. 77}}$$

$$TRa(\omega) = \frac{U_0}{X_0}(\omega) = \frac{k + jc\omega}{k - m\omega^2 + jc\omega}$$

As FRF definidas pelas Eqs. 76 e 77 são importantíssimas no estudo da isolação de vibração pois elas definem a quantidade de movimento transmitida pela base para a massa *m* por unidade de movimento de entrada no suporte. São grandezas adimensionais. A Eq. 76 define a transmissibilidade relativa pois a variável de saída é o movimento relativo (z = x - u) entre a base e a massa m. A Eq. 77 define a transmissibilidade absoluta, pois é definida em termos do deslocamento absoluto da massa m. Em função da razão de frequências $r = \omega/\omega_n$ temos :

$$TRr(\omega) = \frac{-r^2}{1 - r^2 + j2\varsigma r}$$
 Eq. 78

$$TRa(\omega) = \frac{1 + j2\varsigma r}{1 - r^2 + j2\varsigma r}$$
 Eq. 79

Vejamos agora os gráficos das duas **TR(w)**





Gráfico da transmissibilidade relativa

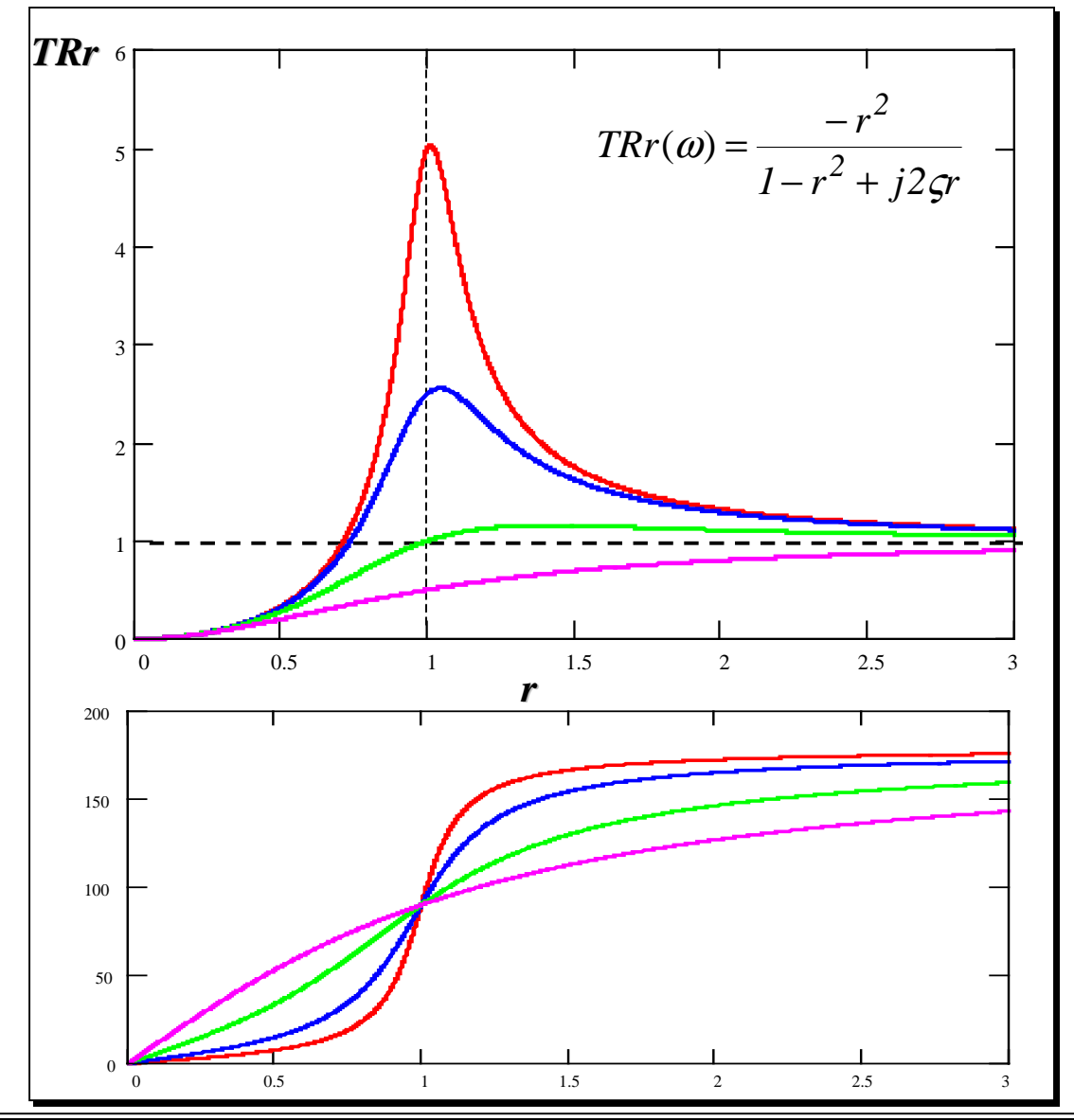
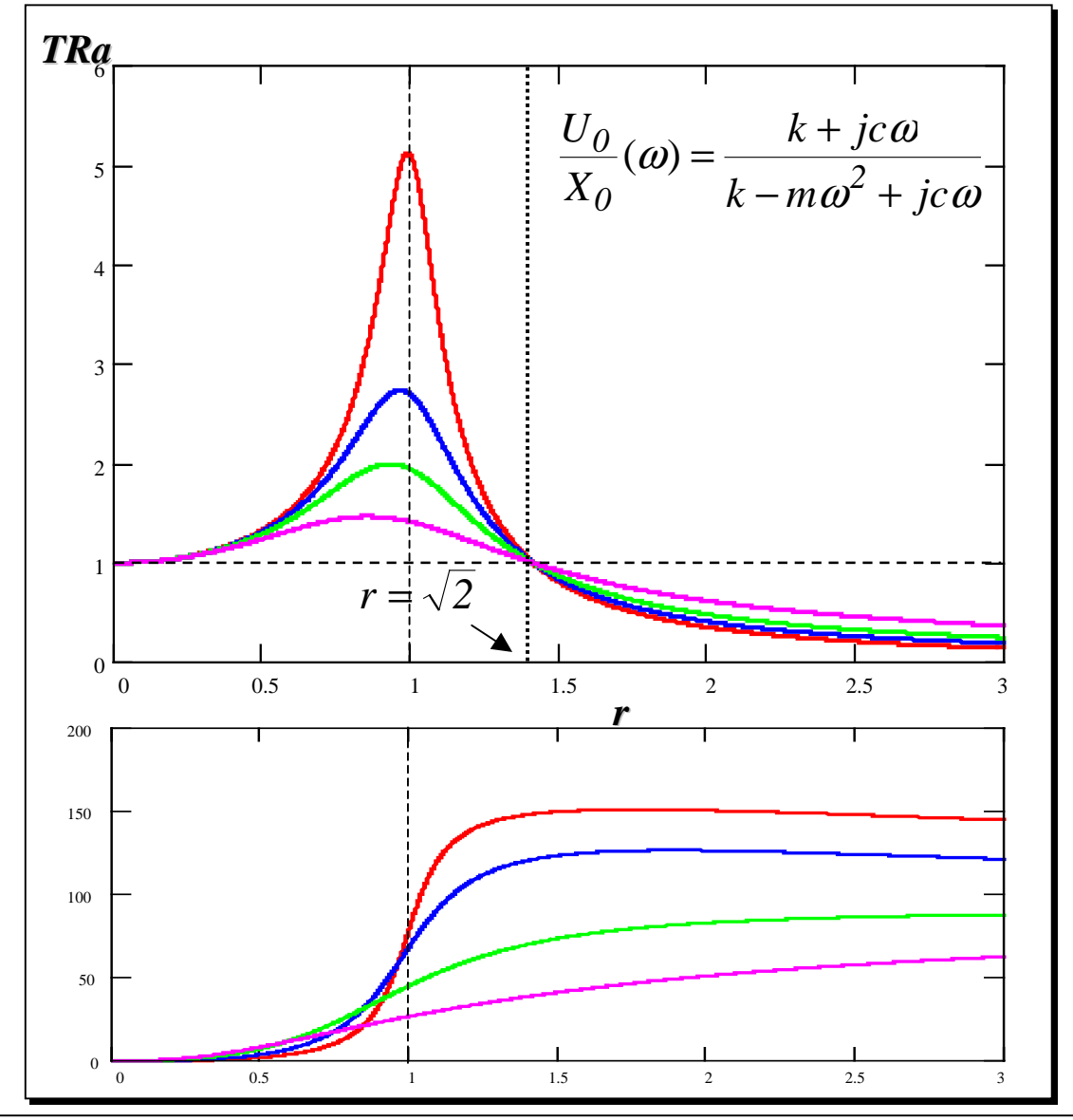




Gráfico da transmissibilidade absoluta





Uma segunda maneira de olharmos o problema de isolação da vibração é avaliarmos a força transmitida pelo suporte, chamada de força de reação. Com base no modelo, esta força é

$$f_{TR}(t) = k(x-u) + c(\dot{x} - \dot{u})$$

Eq. 80

Ou ainda em função do deslocamento relativo z :

$$f_{TR}(t) = kz + c\dot{z}$$

Eq. 81

Lembrando agora que:

$$z(t) = Z_0 e^{j\omega t}$$

Eq. 82

Substituição da Eq. 82 na Eq. 81 fornece :

$$f_{TR}(t) = (k + jc\omega)Z_0e^{j\omega t}$$

Agora, da Eq. 76

$$TRr(\omega) = \frac{Z_0}{X_0}(\omega) = \frac{-m\omega^2}{k - m\omega^2 + jc\omega}$$

Eq. 84

Obtemos

$$f_{TR}(t) = (k + jc\omega)TRr(\omega)X_0e^{j\omega t}$$

Eq. 85

E finalmente:

$$f_{TR}(t) = F_{TR}(\omega) e^{j\omega t}$$

Eq. 86

Com:

$$F_{TR}(\omega) = \frac{-m\omega^2 (k + jc\omega)}{k - m\omega^2 + jc\omega} X_0$$

Desta última Eq. 87, podemos concluir que o produto $-m\omega^2X_0$ nada mais é senão a aceleração a_0 da base, e então podemos definir a Função de Resposta em freqüência de Transmissibilidade de força ou simplesmente transmissibilidade de força

$$TR_f(\omega) = \frac{F_{TR}}{a_0}(\omega) = \frac{k + jc\omega}{k - m\omega^2 + jc\omega}$$

Eq. 88

E esta última expressão é idêntica à transmissibilidade absoluta de deslocamento dada pela Eq. aqui repetida por conveniência

$$TR_a(\omega) = \frac{U_0}{X_0}(\omega) = \frac{k + jc\omega}{k - m\omega^2 + jc\omega}$$

Eq. 89

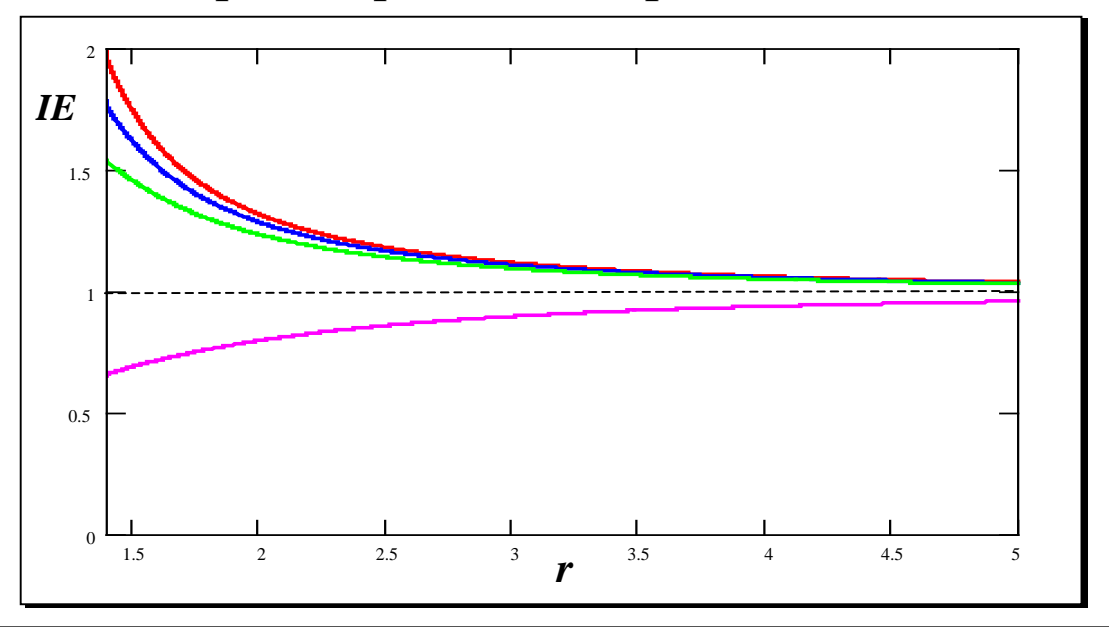
Portanto, quando falamos em transmissibilidade, tanto faz referirmos-nos a força ou movimento, já que a função de transferência é essencialmente a mesma!

Quando projetamos um sistema de isolação de vibração que opera em frequências acima do valor crítico $\mathbf{r} = (2)^{1/2}$ é conveniente expressarmos o comportamento do sistema de 01 GDL em termos da *eficiência de isolação* (*IE*) ao invés da transmissibilidade

$$IE(\omega) = 1 - TR(\omega)$$

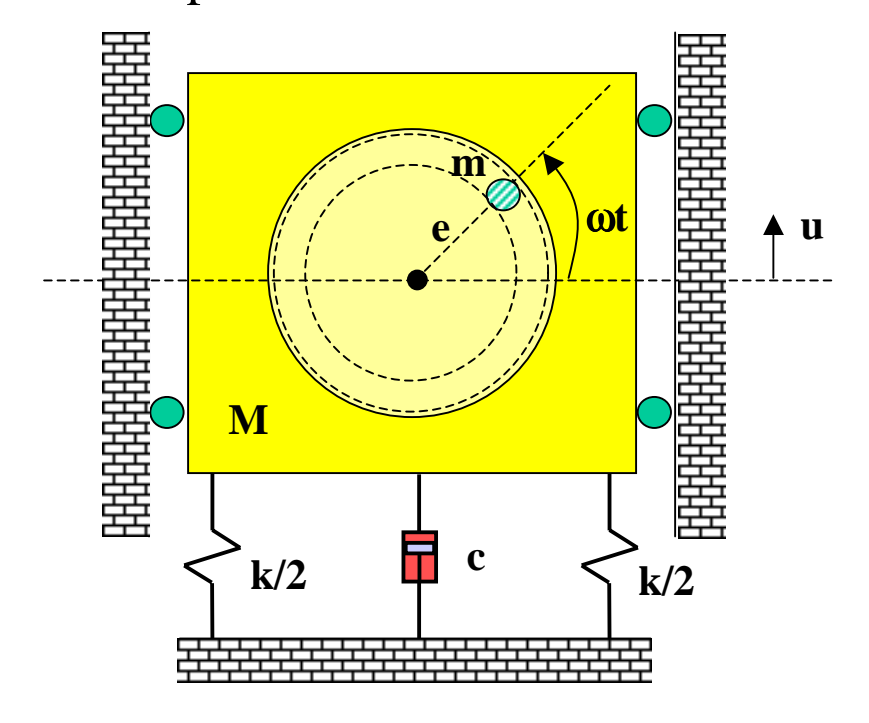
Eq. 90

Onde IE = 1 representa uma isolação perfeita, mas isto requer um valor de r infinitamente grande, enquanto que IE = 0 representa nenhuma isolação.



9 – Desbalanceamento Rotativo

O desbalanceamento rotativo é uma fonte comum de excitação em máquinas. Considere o modelo abaixo para o estudo:



O desbalanceamento é causado por uma massa excêntrica *m* com excentricidade *e* que realiza um movimento circular com velocidade angular *o*.

Da sua posição de equilíbrio estático, a posição da massa m é dada por

$$u_m = u + e \operatorname{sen} \omega t$$

Eq. 91

E a equação de movimento de translação fica então

$$(M-m)\ddot{u} + m\frac{d^2}{dt^2}(u + e \operatorname{sen} \omega t) = -ku - c\dot{u}$$
 Eq. 92

A qual pode ser rearranjada para

$$M\ddot{u} + c\dot{u} + ku = (me\omega^2)\operatorname{sen}\omega t$$

Eq. 93

E a Eq. 93 mostra claramente que o desbalanceamento é a fonte de excitação do sistema. Assumindo uma solução harmônica como antes, podemos achar a amplitude do movimento e seu ângulo de fase

$$u(t) = U_0 \operatorname{sen} \omega t$$

De onde obtemos

$$U_0 = \frac{me\omega^2}{\sqrt{(k - M\omega^2)^2 + (cw)^2}}$$

$$tg\phi = \frac{c\omega}{k - M\omega^2}$$

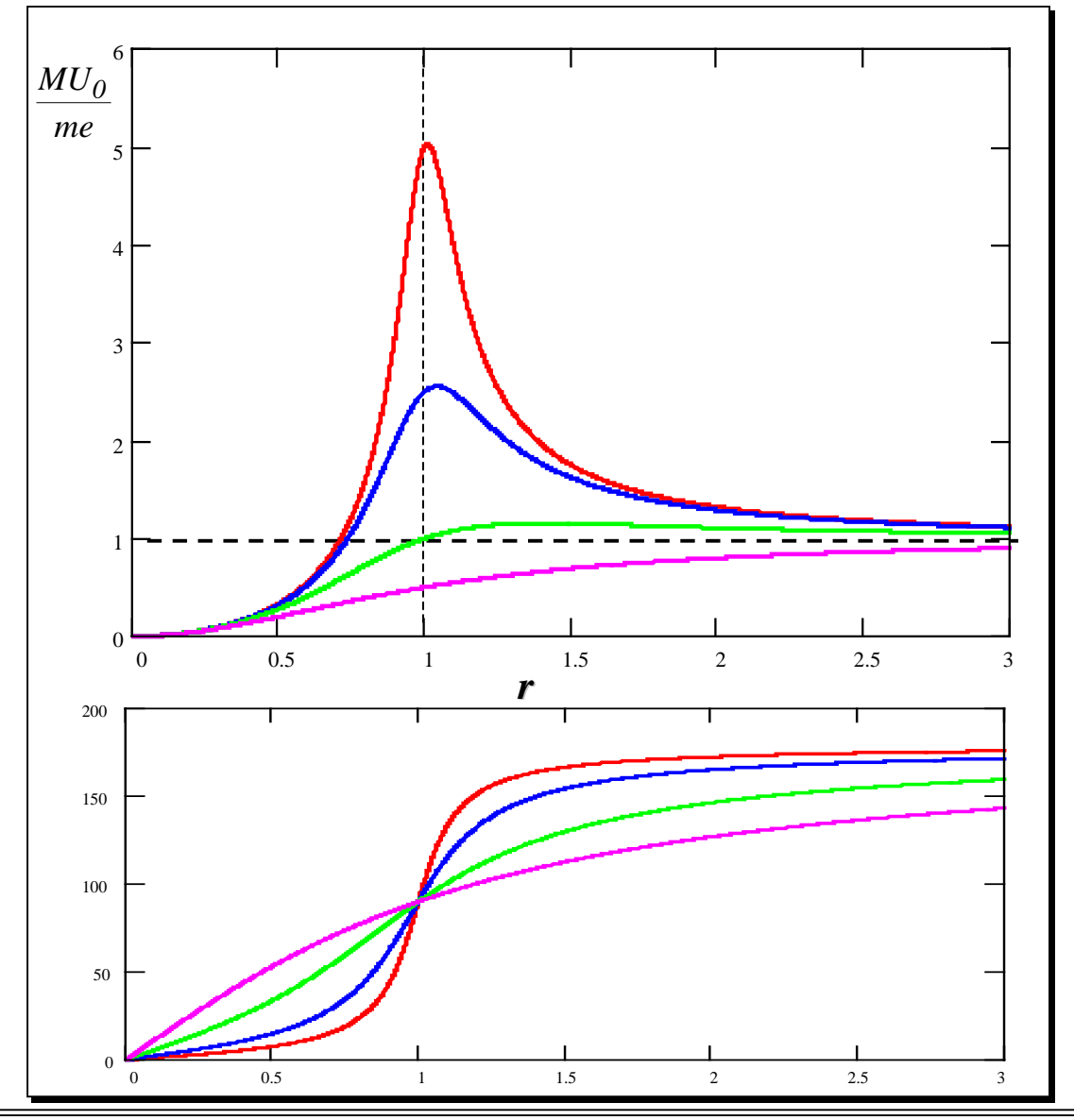
Eq. 96

Ou na forma adimensional

$$\frac{M}{m} \frac{U_0}{e}(r) = \frac{r^2}{\sqrt{(1-r^2)^2 + (2\varsigma r)^2}}$$

$$tg\phi = \frac{2\varsigma r}{1-r^2}$$

Gráfico do desbalanceamento rotativo

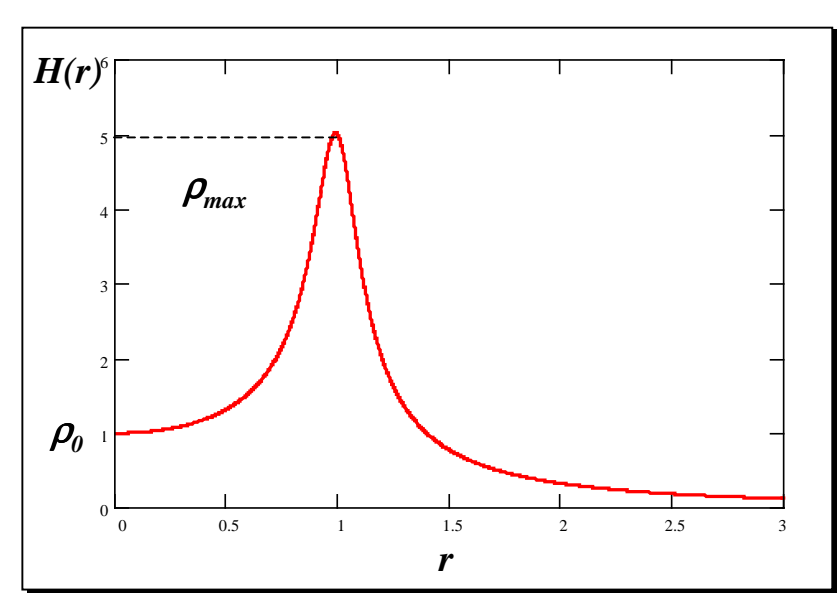




9 – Determinação do Amortecimento Através da FRF

9.1 - Método da Amplificação Ressonante

Este método é baseado na medida da resposta de regime permanente em várias freqüências discretas em uma faixa incluindo a freqüência natural do sistema.



Então, o máximo valor da FRF ocorre em

$$r_{pico} = \sqrt{1 - 2\varsigma^2}$$
 Eq. 99

E para valores pequenos de amortecimento

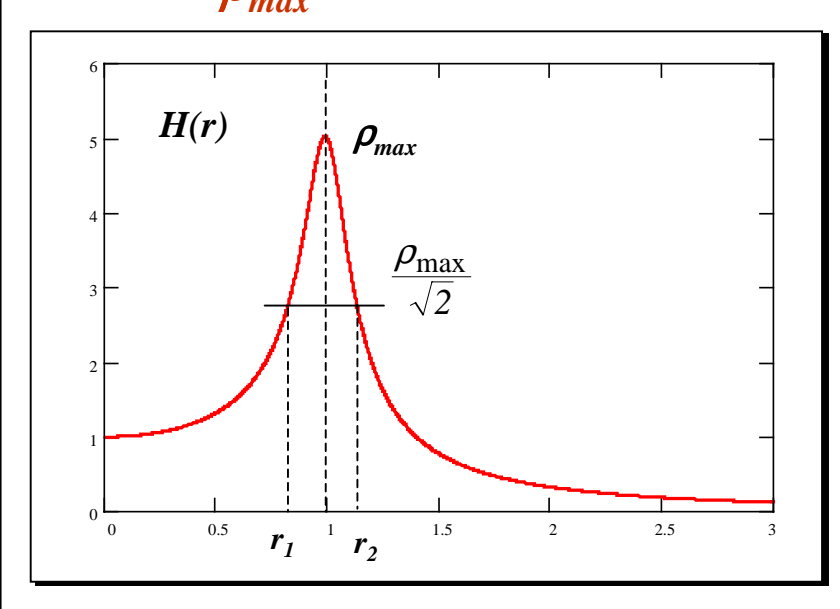
$$\varsigma \cong \frac{\rho_0}{2\rho_{\text{max}}}$$

Eq. 100

Este método é de simples aplicação, requerendo instrumentação simplificada, mas podendo oferecer alguma dificuldade na determinação do deslocamento estático ρ_0 !

9.2 - Método da Meia Potência

Neste caso, o fator de amortecimento é determinado a partir de frequências nas quais a amplitude de resposta é reduzida a $1/\sqrt{2}$ vezes a amplitude máxima ρ_{max} !



Então usando esta relação temos:

$$\frac{1}{\sqrt{(1-r^2)^2 + (2\varsigma r)^2}} = \frac{1}{\sqrt{2}} \left(\frac{1}{2\varsigma} \sqrt{1-\varsigma^2} \right) \text{ Eq. 101}$$

Elevando-se ambos os lados ao quadrado:

$$r^2_{1,2} = I - 2\varsigma^2 \mp 2\varsigma\sqrt{1 - \varsigma^2}$$
 Eq. 102

Agora, para pequenos valores de amortecimento:

$$r_{1,2} \cong 1 - \varsigma^2 \mp \varsigma \sqrt{1 - \varsigma^2}$$

Subtraindo-se as raízes na Eq. 103

$$r_2 - r_I = 2\varsigma \sqrt{1 - \varsigma^2} \cong 2\varsigma$$

Eq. 104

E somando-se as raízes temos

$$r_2 + r_1 = 2(1 - \varsigma^2) \cong 2$$

Eq. 105

Combinando-se as Eqs. 104 e 105 vem:

$$\varsigma = \frac{r_2 - r_1}{r_2 + r_1} = \frac{f_2 - f_1}{f_2 + f_1}$$

Eq. 106

Onde f_1 e f_2 são frequências para as quais a amplitude de resposta é igual a

$$\rho = \frac{\rho_{\text{max}}}{\sqrt{2}}$$

Este método de obtenção da razão de amortecimento evita termos que achar o deslocamento estático ρ_0 , entretanto, ele requer a obtenção acurada da curva de resposta em freqüência na região do pico de ressonância e no nível $(2)^{-1/2}$!

Para clarificar a essência do método que é chamado de meia potência, considere a potência média aplicada pelo carregamento, a qual deve ser igual à energia dissipada pela força de amortecimento viscosa em regime permanente a uma freqüência $\overline{\omega}$

$$P_{med} = \frac{c\overline{\omega}}{2\pi} \int_{0}^{2\pi/\overline{\omega}} \dot{u}(t)^{2} dt = c\overline{\omega}^{2} \left[\frac{\overline{\omega}}{2\pi} \int_{0}^{2\pi/\overline{\omega}} \dot{u}(t)^{2} dt \right] = \varsigma m \omega_{n} \overline{\omega}^{2} H^{2} (\omega = \overline{\omega})$$
Eq. 108

Esta última expressão nos pontos r_1 e r_2 fornece

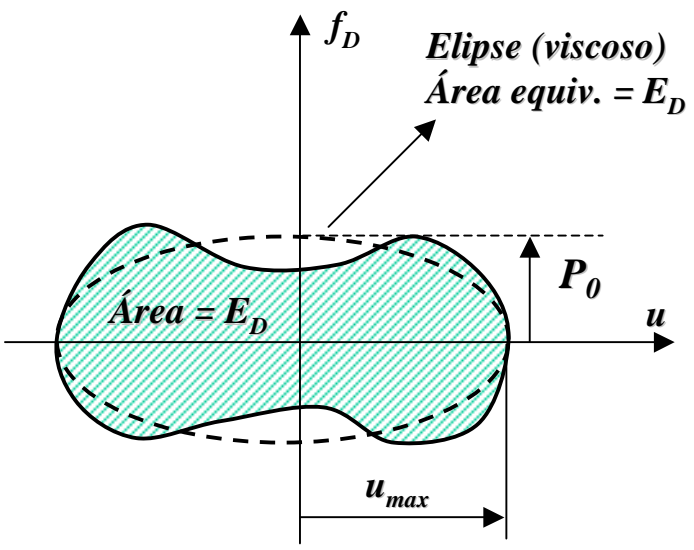
$$P_{r_1} = \left(\frac{r_1}{r_{pico}}\right)^2 \frac{P_{pico}}{2}$$

$$P_{r_2} = \left(\frac{r_2}{r_{pico}}\right)^2 \frac{P_{pico}}{2}$$

Eq. 109

9.3 - Método da Energia Dissipada Por Ciclo

Este método requer a construção do gráfico abaixo:



Se o sistema possui amortecimento viscoso puramente linear (elipse) então a seguinte relação pode ser usada :

$$p_0 = f_{D_{\text{max}}} = c\dot{u}_{\text{max}} = 2\varsigma m\omega_n \dot{u}_{\text{max}} = 2\varsigma m\omega_n^2 u_{\text{max}}$$

Eq. 111

ou

$$\varsigma = \frac{p_0}{2m\omega_n^2 u_{\text{max}}}$$

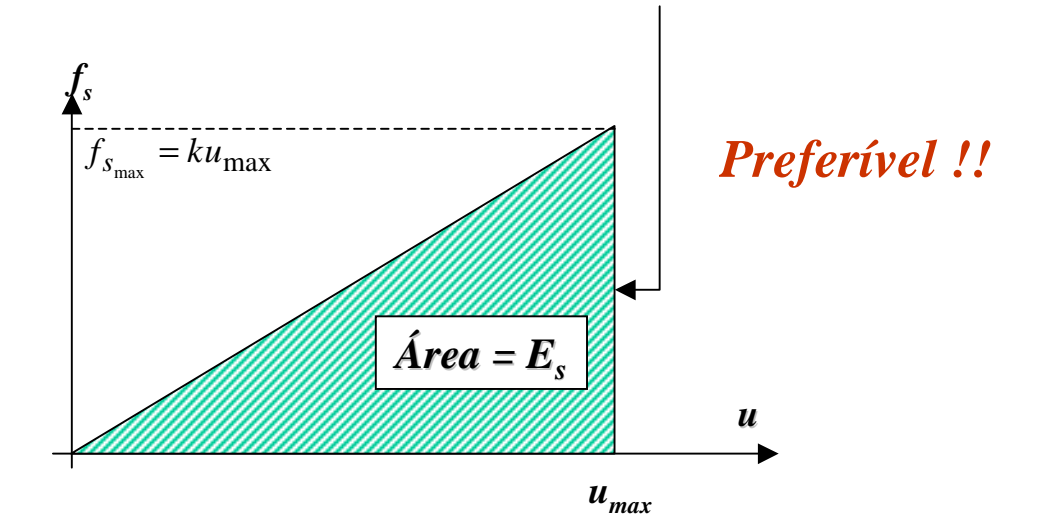


Agora, se o amortecimento viscoso é não linear (curva hachurada) a energia dissipada por ciclo E_D pode ser obtida pela área do gráfico da f_D , ou seja

$$E_D = \left(\frac{2\pi}{\omega_n}\right) P_{med} = \left(\frac{2\pi}{\omega_n}\right) \left(\varsigma_{eq} m \omega_n^3 u_{\text{max}}^2\right)$$
 Eq. 113

E então

$$\varsigma_{eq} = \frac{E_D}{(2\pi m\omega_n^2 u_{\text{max}}^2)} = \frac{E_D}{(2\pi ku_{\text{max}}^2)}$$



9.4 – Amortecimento Estrutural (Histerético)

Lembrando que o amortecimento estrutural possui a seguinte relação:

$$f_D(t) = j\eta k u(t)$$

Eq. 115

Neste caso, a energia dissipada por ciclo de vibração é dada por :

$$E_D = \pi \mathcal{L} H$$

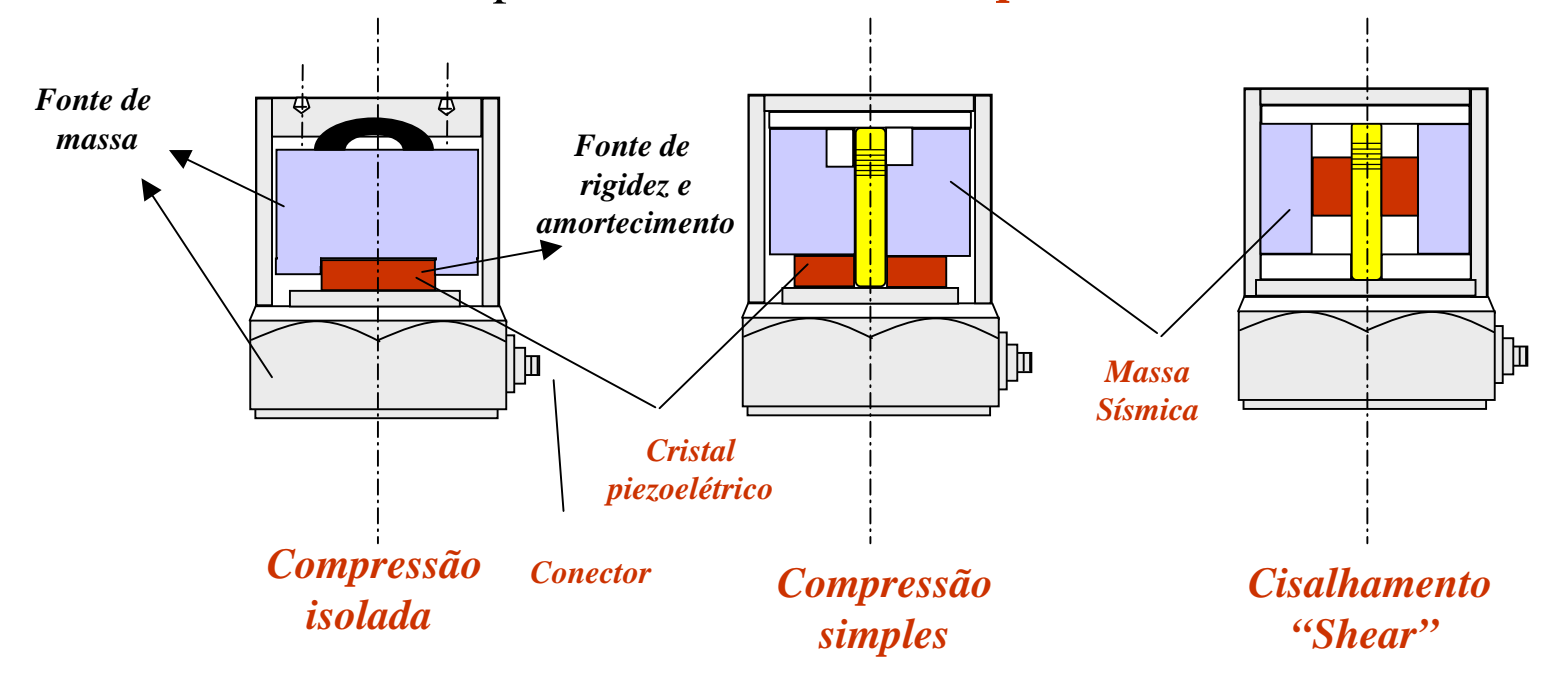
Eq. 116

Enquanto que no caso viscoso:

$$E_D = \left(\frac{2\pi}{\omega}\right) P_{med} = 2\pi \varsigma n \omega_n \omega_n \left[\omega\right] H_{\text{max}}^2$$

10 – Aplicação do Modelo de 01 GDL – *O Acelerômetro*

O acelerômetro é um sensor dedicado à medidas de vibração. A figura abaixo mostra três modelos típicos de *acelerômetros piezelétricos*

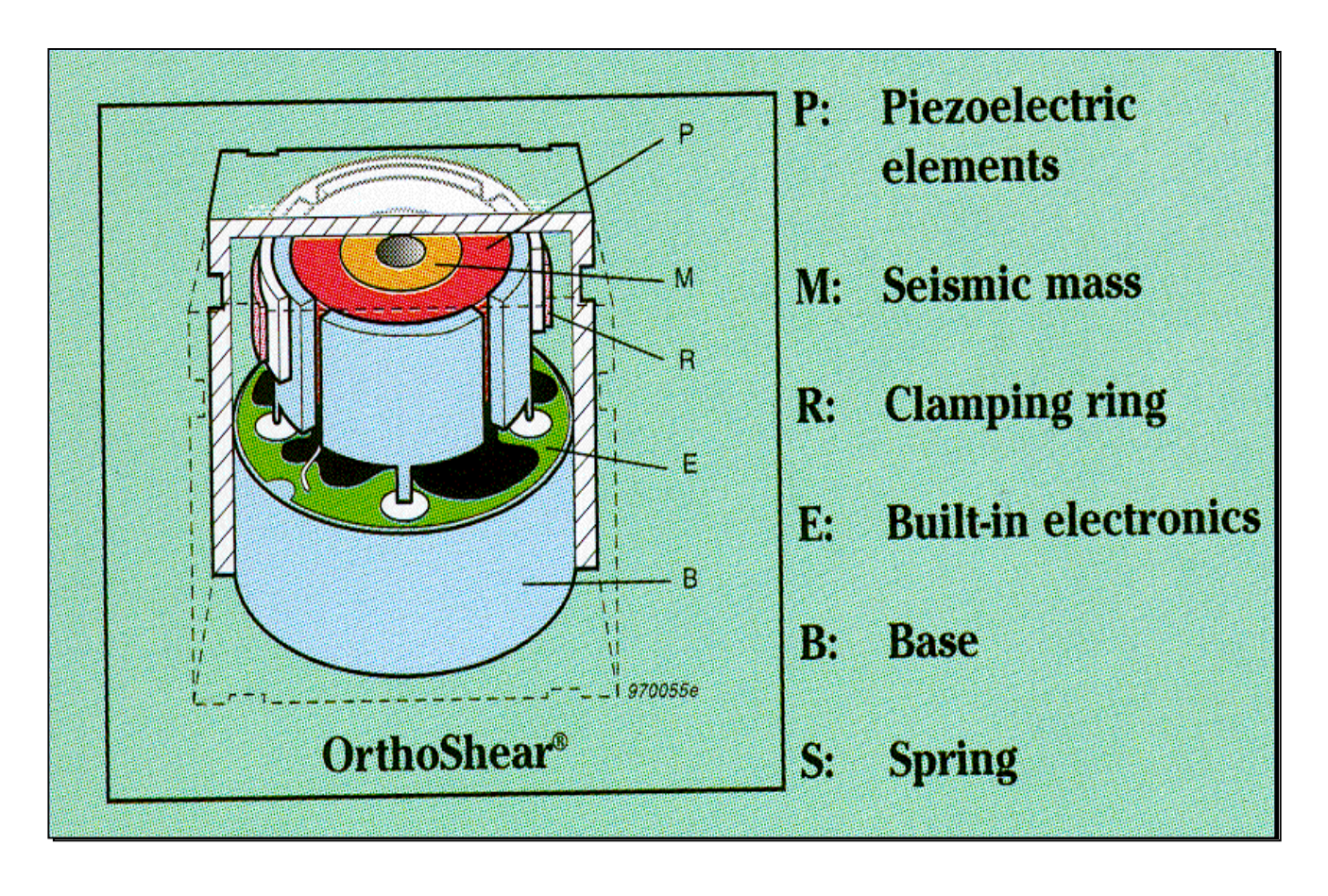


Princípio de operação: A massa sismica quando sujeita à mesma vibração que se deseja medir causa uma deformação no cristal, que por sua vez possui a capacidade de gerar cargas elétricas proporcionais à aceleração desconhecida!



Alguns modelos comerciais

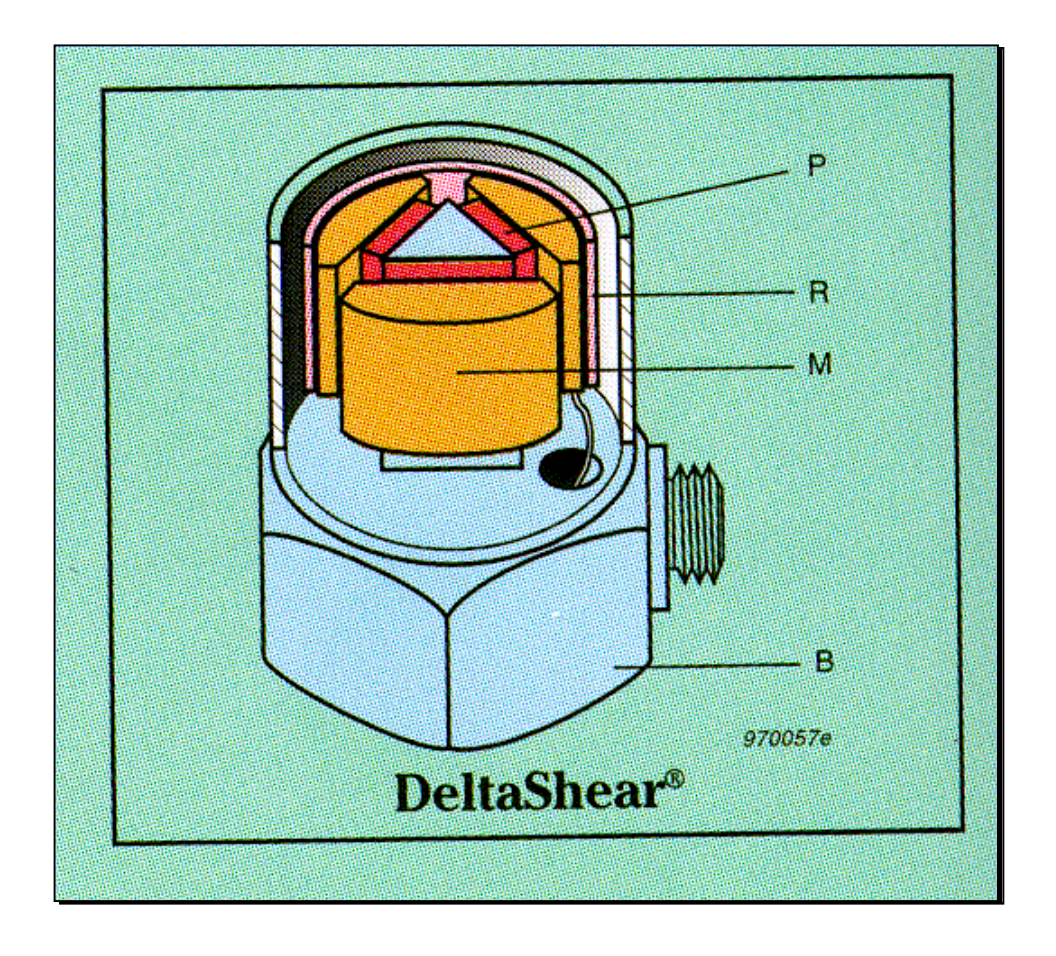
Modelo OrthoShear da Bruel & Kjaer







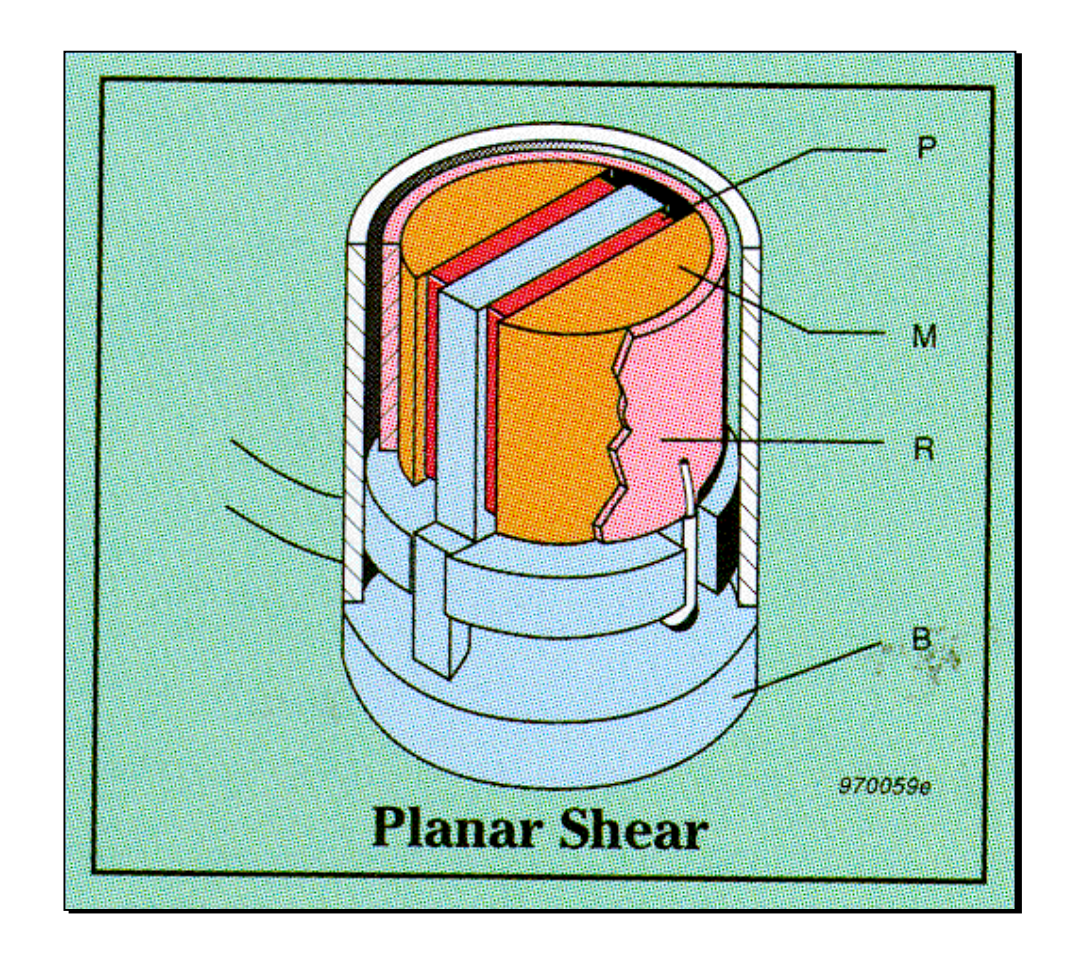
Modelo DeltaShear da Bruel & Kjaer







Modelo PlanarShear da Bruel & Kjaer







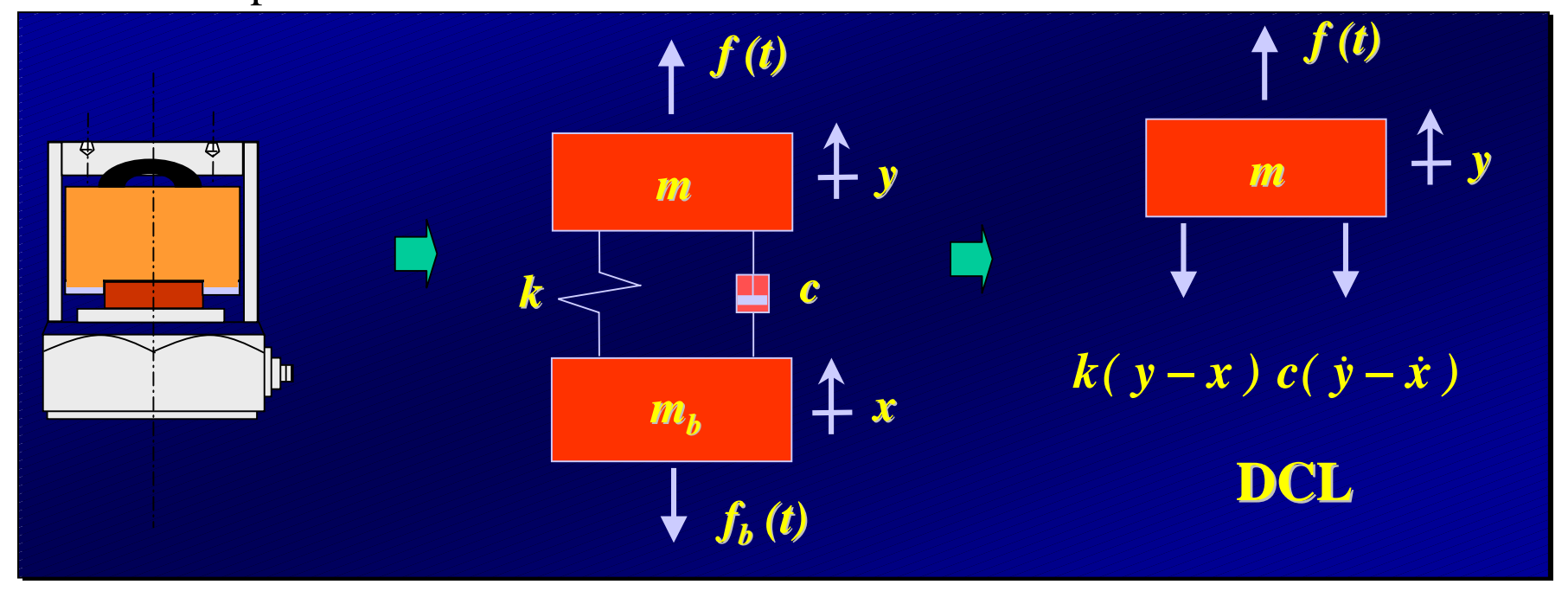
Outros modelos da B&K







Como temos *duas fontes* de massa no sistema (*base do sensor e massa sísmica*) e *uma fonte de rigidez e amortecimento* (*cristal piezoelétrico*), então um **modelo** conveniente para o sensor seria o de *02 GDL*!



Agora, considerando-se que para seu correto funcionamento o sensor deve ser rigidamente fixado à estrutura tal que a massa da base mb fica incorporada à mesma, então o modelo acima pode ser simplificado para um modelo de 01 GDL com excitação via base, e então podemos usar os conceitos de *transmissibilidade* vistos até agora!!





Então, para a massa sísmica m podemos escrever a seguinte equação

$$m\ddot{z} + c\dot{z} + kz = -m\ddot{x}$$

Onde z é o deslocamento relativo entre a base e a massa sísmica. Devemos Observar que o acelerômetro é projetado para medir \ddot{x} . Como antes, a solução Da equação acima fica

$$Z_o = \frac{-mX_o\omega^2}{k - m\omega^2 + jc\omega} = \frac{ma_o}{k(1 - r^2 + j2\varsigma r)}$$

Ou simplesmente

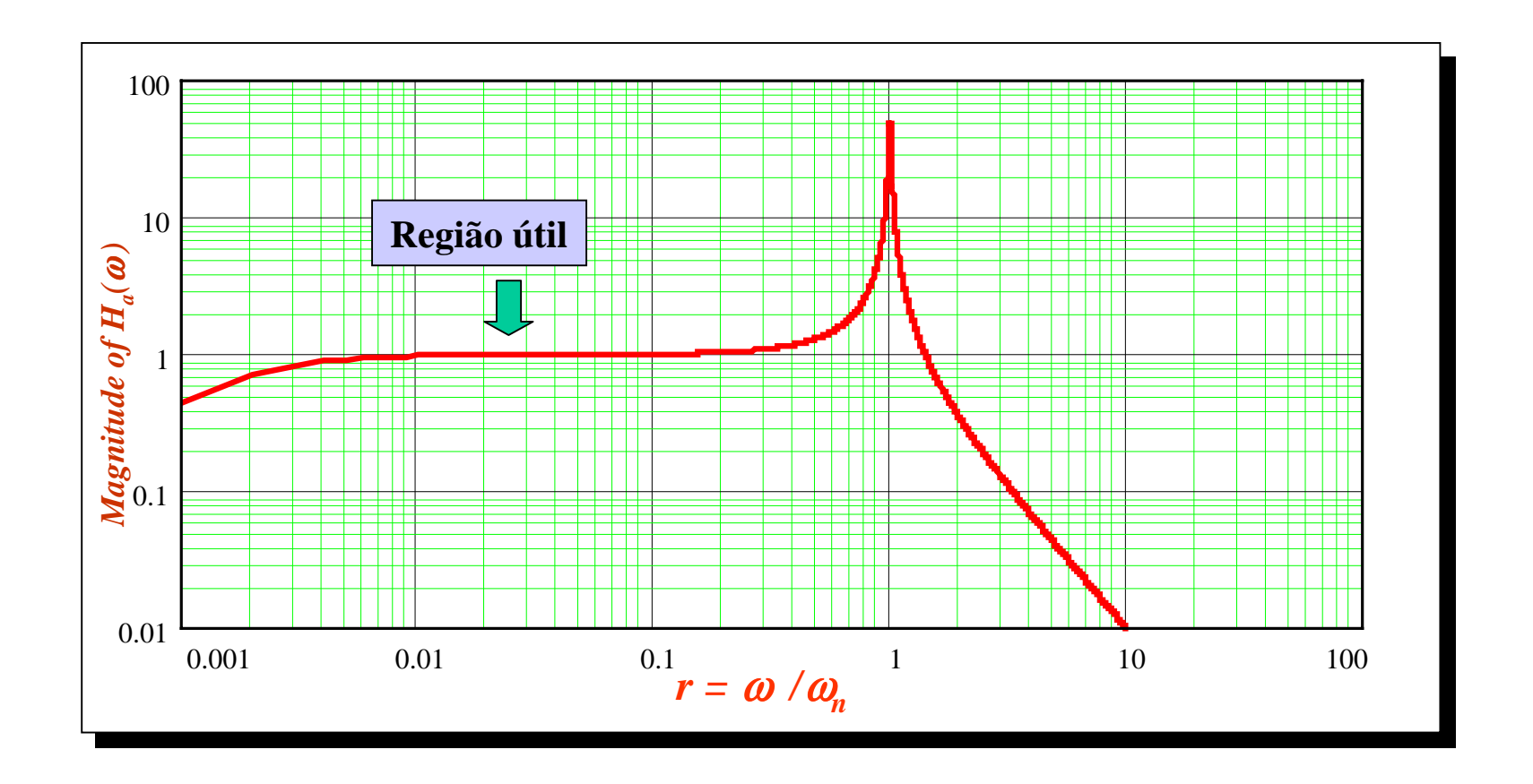
$$Z_o = H(\omega)a_o$$

FRF do sensor

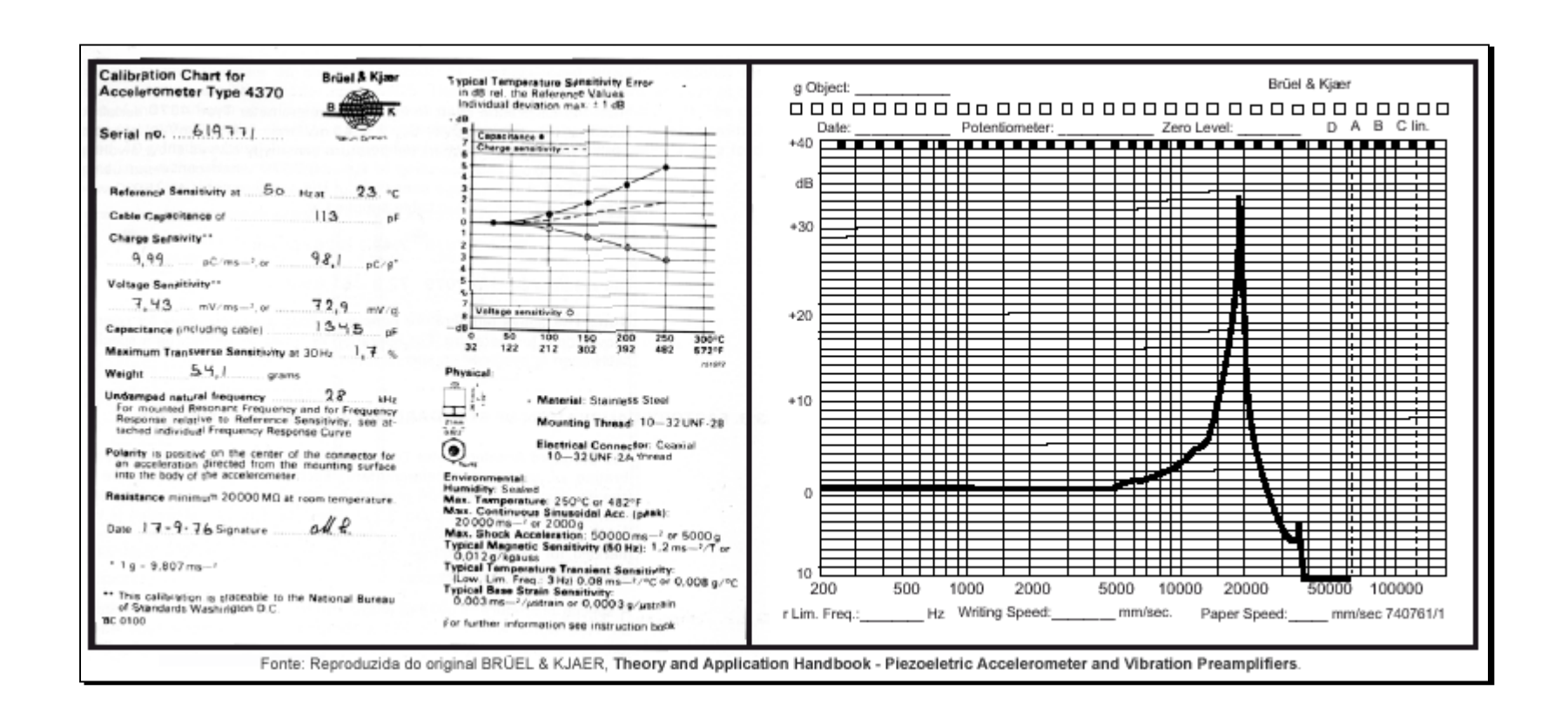
$$H(\omega) = \frac{m}{k - m\omega^2 + jc\omega}$$

Portanto o que queremos medir é a0, mas o que obtemos é \mathbb{Z}_0 , ou seja, a_0 afetado da dinâmica do sensor dada pela FRF $H(\omega)$!

Abaixo vemos uma curva típica teórica de um sensor piezelétrico



Enquanto que abaixo vemos uma curva típica de um sensor comercial







Detalhes da montagem do acelerômetro em estruturas

